

# Afkomu- og hraðamælingar á Langjökli jökulárið 2009-2010

Finnur Pálsson  
Helgi Björnsson  
Sverrir Guðmundsson

Jarðvísindastofnun Háskólags  
og Landsvirkjun

desember 2010  
RH-29-2010



**Efnisyfirlit:**

|   |   |
|---|---|
| 1. Inngangur                              | 1 |
| 2. Afkomumælingar                         | 2 |
| 3. Samandregnar niðurstöður afkomumælinga | 3 |
| 4. Afrennsli leysingarvatns frá Langjökli | 5 |
| 5. Hraðamælingar                          | 7 |
| 6. Lokaorð                                | 8 |

**Viðaukar:**

|   |    |
|---|----|
| A. Afkoma í mælipunktum jökulárið 2009-2010               | 10 |
| B. Dreifing afkomu með hæð jökulárið 2009-2010            | 11 |
| C. Hnit hraðamælipunkta 2010                              | 12 |
| D. Mældur láréttur yfirborðsskriðhraði 2010               | 14 |
| E. Afrennsli leysingar sumarið 2010                       | 16 |
| F. Modis gervihnattamyndir af Langjökli og nágrenni 2010. | 21 |

**Myndir:**

|           |   |   |
|-----------|---|---|
| 1. mynd.  | Lega afkomumælipunkta 2010.   | 1 |
| 2. mynd.  | Vetrar-, summar- og ársafkoma í mælipunktum.  | 2 |
| 3. mynd.  | Afkoma á mælisniðum. A: Frá sporði Vestari Hagafellsjökuls.<br>upp á hábungu suðurhvels Langjökuls. B: Frá sporði upp á<br>hábungu norðurhvels Langjökuls (norðvestur hluti jökulsins).   | 2 |
| 4. mynd.  | Afkoma jökuláranna 1996-97 til 2009-2010.   | 3 |
| 5. mynd.  | Sumarhiti (maí - september) og vetrarúrkoma (október - maí) á<br>Hveravöllum jökulárin 1960-61 til 2009-2010. Heildregnu línumnar<br>eru 11 ára vegin (þríhyrningur) keðjumeðaltöl. (Veðurgögn frá Veðurstofu<br>Íslands).                        | 3 |
| 6. mynd.  | Kort sem sýna vetrar-, summar- og ársafkomu Langjökuls<br>jökulárið 2009-2010.  | 4 |
| 7. mynd.  | Flatardreifing Langjökuls með hæð og uppsöfnuð dreifing<br>afkomu með hæð, 2009-2010.   | 4 |
| 8. mynd.  | Samhengi ársafkomu og: <b>a.</b> vetrarafkomu, <b>b.</b> summarafkomu,<br><b>c.</b> hæð jafnvægislinu, <b>d.</b> hlutfalls safnsvæðis af heildarflatarmáli (AAR).   | 5 |
| 9. mynd.  | Helstu vatnasvið og vatnaskil á Langjökli.  | 6 |
| 10. mynd. | Meðaltal ársafrennslis leysingarvatns frá vatnasviðum helstu vatnsfalla<br>frá Langjökli 1997-2009. a: Vatnasvið Þingvallavatns (I);<br>b: Vatnasvið Þingvallavatns (II); c: Hvítá í Borgarfirði; d: Hvítárvatn,<br>Hvítá; e: Hagavatn, Sandvatn. | 6 |
| 11. mynd. | Þversnið niður miðjan Hagafellsjökul vestari og mældur<br>yfirborðshraði á því sniði sumurin 1997, 1998, 1999, 2000, 2001<br>2002, 2003, 2004, 2005, 2006, 2007, 2008, 2009, 2010<br>og einnig haustið 1998.                                      | 8 |
| 12. mynd. | Meðaltal láréttus yfirborðshraða sumarið 2010.  | 8 |

**Töflur:**

|    |  |   |
|----|--|---|
| I. | Afrennsli leysingavatns frá Langjökli til helstu vatnasviða. | 7 |
|----|--|---|

## 1. Inngangur.

Árið 2010 vann jöklahópur Jarðvísindastofnunar að afkomumælingum á Langjökli í samvinnu við Landsvirkjun. Í þriðju viku apríl var vetrarrafkoma mæld á 24 stöðum á jöklinum og komið fyrir stíkum eða vírum til að mæla sumarleysingu. Einnig voru settar upp tvær veðurstöðvar á Hagafellsjökul vestari, en grein verður gerð fyrir niðurstöðum veðurmælinganna annars staðar. Á 1. mynd sést lega mælipunkta, sem dreift var þannig að sem best mynd fengist af breytileika afkomu frá norðri til suðurs eftir jöklinum og á suðurhveli jökulsins. Hreyfing var mæld með DGPS-tækjum eða Kinematic-GPS í öllum afkomumælinga punktunum.

Að vormælingum 17-19. apríl unnu Sverrir Guðmundsson, Sveinbjörn Steinþórsson, Hlynur

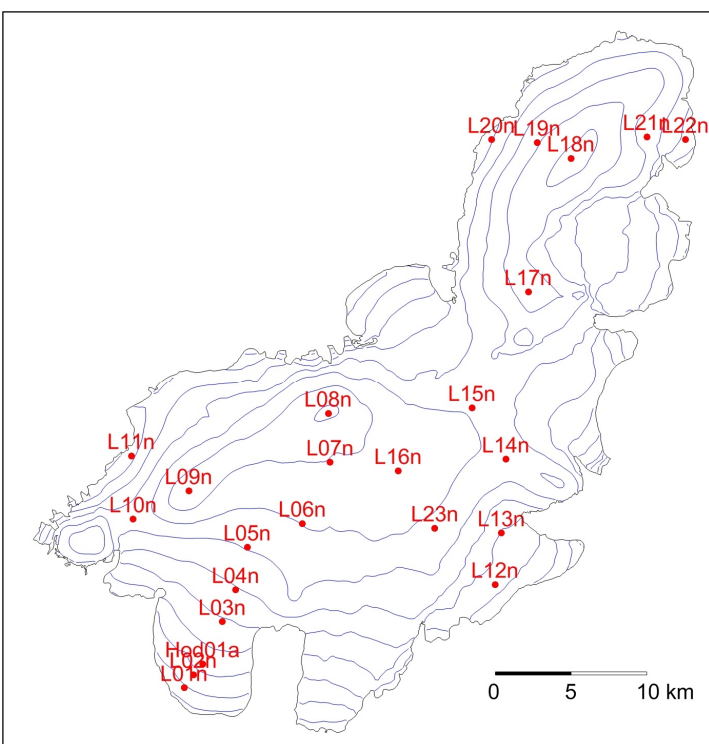
Skagfjörð Pálsson og Ragnar Þórhallsson. Farartæki var snjóbíll HSSR og einn vélsleði Landsvirkjunar. Færíð á jöklri var ágætt og veður ákjósanlegt til mælinga.

Að hausti voru farnar tvær ferðir á þyrlu 23. september og 4. október. Loks var farið á tveimur bílun JH 24. nóvember, neðri veðurstöðin tekin niður og lesið af L01, L07 og L11.

Að haustmælingum komu Sverrir Guðmundsson, Sveinbjörn Steinþórsson, Þorsteinn Jónsson, Svævarr Guðmundsson, Eyjólfur Magnússon og Finnur Pálsson. Pyrluflugmaður Norðurflugs var Snorri G. Steingrímsson.

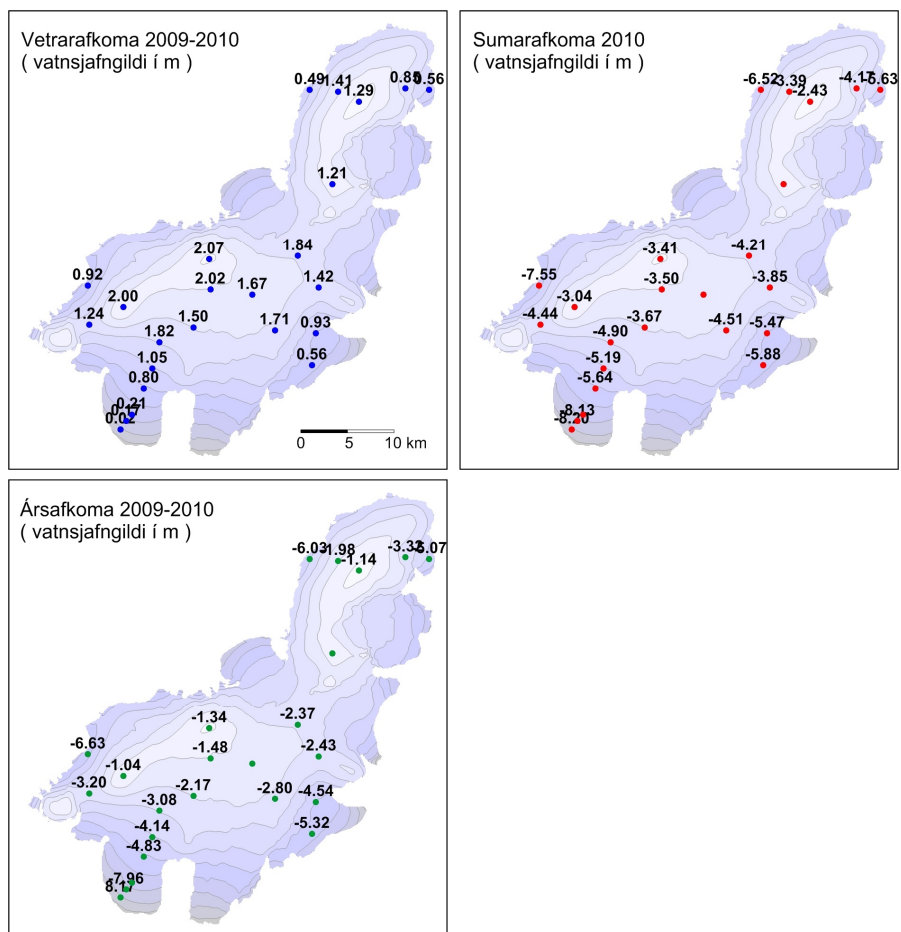
Finnur Pálsson vann úrvinnslu og túlkun mæligagna.

1. mynd. Lega afkomumælipunkta 2010

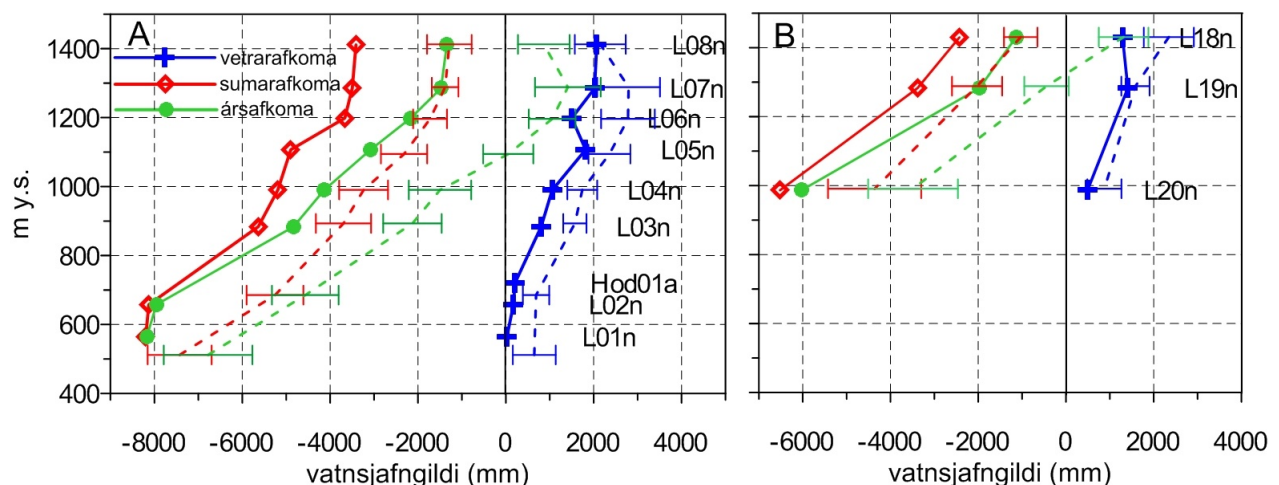


## 2. Afkomumælingar.

Afkoma var mæld á hefðbundinn hátt. Að vori var tekinn kjarni með rafknúnum kjarnabor niður gegnum árlagið og eðlis-massi snævarins fundinn. Á ákomusvæðum voru settar plaststikur en á leysingarsvæðum vírar niður í holur sem boraðar voru með gufubor. Sumar-leysing fannst með mælingu á mismun þess sem upp úr stóð vor og haust og eðlismassa fyrninga. Niðurstöður afkomumælinga í einstökum mælipunktum eru sýndar á 2. mynd og viðauka A. Á 3. mynd er afkomusnið frá sporði V-Hagafellsjökuls upp á miðja suðurbungu jökulsins og einnig frá sporði upp hábungu norðurhvels Langjökuls.



2. mynd. Vetrar-, summar- og ársafkoma í mælipunktum.



3. mynd. Afkoma á mælisniðum. A: Frá sporði Vestari Hagafellsjökuls upp á hábungu suðurhvels Langjökuls. B: Frá sporði upp á hábungu norðurhvels Langjökuls (norðvestur hluti jökulsins). Meðaltal mælitímabilsins 1996-97 til 2008-09 er sýnt með brotnum línum og staðalfrávik mælraðar í hverjum punkti með láréttum línum.

### 3. Samdregnar niðurstöður afkomumælinga.

Eftir mæligildum í afkomumælipunktunum voru gerð stafræn kort til reikninga á rúmmáli afkomu og til að lýsa sumarleysingu á einstökum vatnasviðum. Heildarafkoma Langjökuls 2009-2010 var:

$$\begin{aligned} B_w &= 1.00 \text{ km}^3 \text{ eða } b_w = 1105 \text{ mm} \\ B_s &= -4.45 \text{ km}^3 \text{ eða } b_s = -4910 \text{ mm} \\ B_n &= -3.45 \text{ km}^3 \text{ eða } b_n = -3805 \text{ mm} \end{aligned}$$

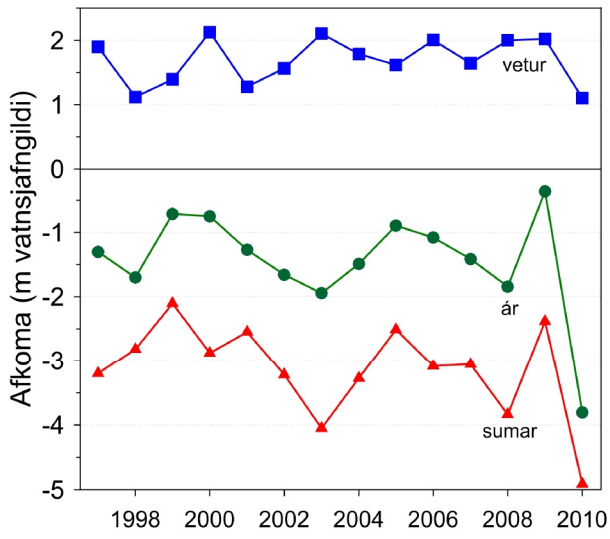
(B er heildarrúmmál vatnsgildis, en b þykkt vatnsgildis  
Jafndreift yfir jökulinn, w, s og n stendur fyrir vetur,  
sumar og ár).

Til samanburðar voru gildi fyrrí ára:

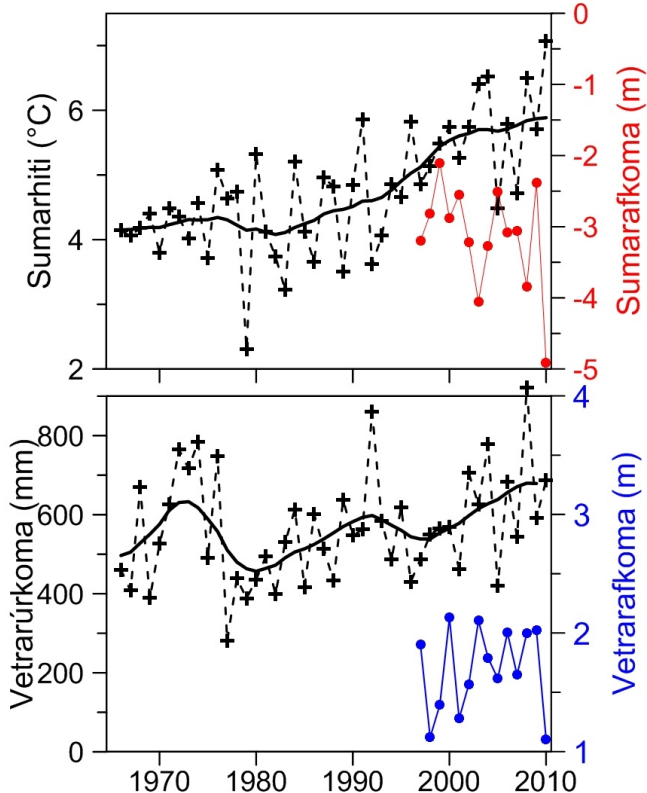
|                                   | $b_w$       | $b_s$        | $b_n$ (mm)   |
|-----------------------------------|-------------|--------------|--------------|
| 1996-1997                         | 1900        | -3200        | -1300        |
| 1997-1998                         | 1120        | -2820        | -1700        |
| 1998-1999                         | 1502        | -2270        | -768         |
| 1999-2000                         | 2130        | -2880        | -750         |
| 2000-2001                         | 1273        | -2550        | -1271        |
| 2001-2002                         | 1566        | -3222        | -1656        |
| 2002-2003                         | 2105        | -4051        | -1946        |
| 2003-2004                         | 1789        | -3276        | -1487        |
| 2004-2005                         | 1617        | -2511        | -894         |
| 2005-2006                         | 1690        | -2970        | -1279        |
| 2006-2007                         | 1647        | -3058        | -1411        |
| 2007-2008                         | 1999        | -3840        | -1842        |
| 2008-2009                         | 2024        | -2386        | -362         |
| <b>Meðaltal<sub>(96-10)</sub></b> | <b>1691</b> | <b>-3135</b> | <b>-1444</b> |

Snjósöfnun veturinn 2009-2010 var sú minnsta á mælitímanum (frá 1996-97), lítið eitt minni en 1997-98 (3. og 4. mynd). Á mynd 3. sést að snjósöfnun er víðast meira en heilu staðalfráviki minni en meðalgildi tímabilsins. Ekki er einfalt samband milli úrkому á Hveravöllum og vetrarafkому Langjökuls (5. mynd); hitastig þegar úrkoma fellur og úrkomuáttir skipta miklu máli. Á röð gervitunglamynda (viðauki F) sést að nær enginn snjór safnaðist á hálandið í kringum Langjökul allan veturinn.

Sumarleysing var langt yfir meðallagi á öllum hæðarbilum, einkum þó á safnssvæðinu. Þetta skyrist að mestu af tveim þáttum: meðalhiti sumarsins var sá hæsti síðan afkomumælingar hófust (riflega

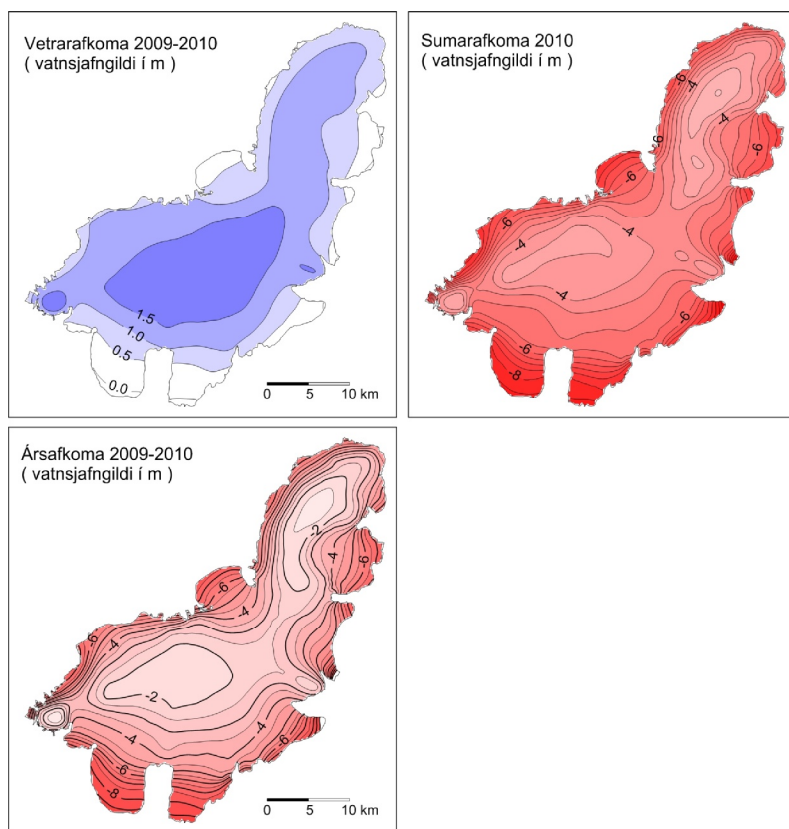


4. mynd. Afkoma jökuláranna 1996-97 til 2009 - 2010

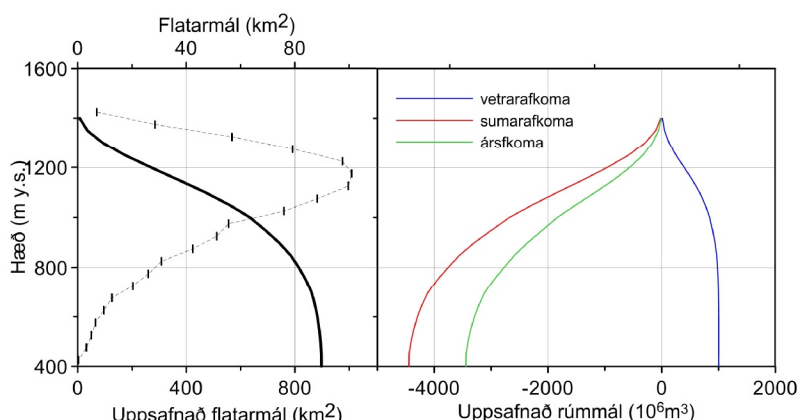


5. mynd. Sumarhiti (maí - september) og vetrarúrkoma (október - maí) á Hveravöllum jökulárin 1960-61 til 2009-2010. Heildregnu línurnar eru 11 ára keðjumeðaltöl (prihyrningsvægi). Veðurgögn frá Veðurstofu Íslands.

$7^{\circ}\text{C}$ ), en þó einkum sú að aska frá Eyjafjallajökli barst yfir Langjökul í lok gossins (sjá röð gervihnattamynda í viðauka F). Auk þessa var vetrarsnjólagið mjög þunnt á neðanverðum jöklínnum, ísinn því fljótt ber og ísog sólgeislunar aukið. Þunn öskudreifin jók mjög á gleypni yfirborðsins á geislun frá sólu á ofanverðum jöklínnum og olli margföldum bráðnunarhraða. Á leysingasvæði jöklusins skolaðist askan að mestu burt þegar komið var niður á ís, en á safnsvæðinu sat askan að mestu föst í yfirborðinu og olli aukinni bráðnun allt sumarið.

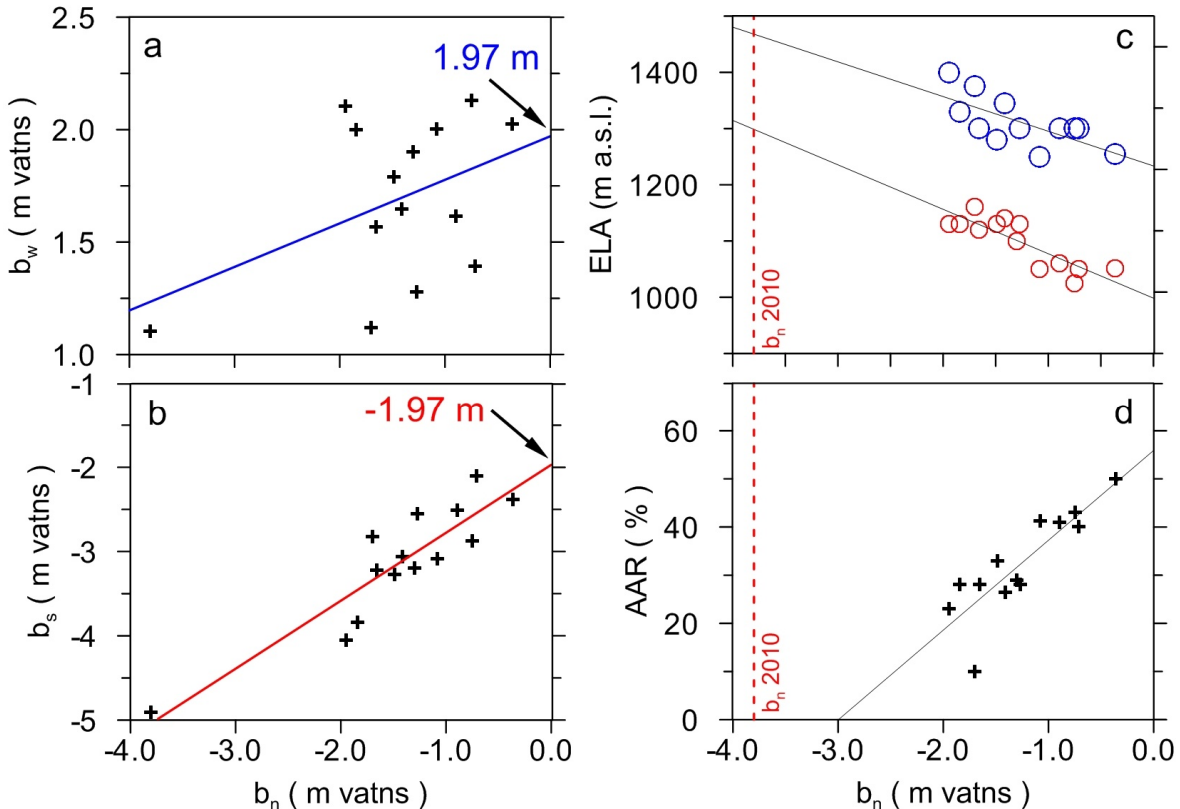


6. mynd. Kort sem sýna vetrar-, summar- og ársafkomu Langjökuls jökulárið 2009-2010.



7. mynd. Flatardreifing Langjökuls með hæð og uppsöfnuð dreifing afkomu með hæð. 2008-2009.

Vetrarsnjór bráðnaði burt allstaðar, en að auki hluti fyrninga síðustu ára. Flatarmál safnsvæðis var því níll (AAR=0%), og var það strax á miðju sumri og þá var hæð jafnvægislinu líka ofar hæstu stöðum á jöklulyfirborðinu. Útfra röð gervitunglamynda (viðauki F) má líka sjá að aldrei snjóaði á safnsvæðið allt sumarið, en snjókoma á sumri dregur mjög úr leysingu. Sumarið var mjög hlýtt, þurrt og venju fremur sólríkt, meðalsummarhitinn á Hveravöllum var næri  $1.5^{\circ}\text{C}$  hærri en meðaltal mælitímabilsins (5. mynd). Ársafkoma var sú langlægsta frá upphafi mælinga. Á 6. mynd eru sýnd stafræn kort af afkomu Langjökuls 2008-2009. Á 7. mynd er sýnd flatardreifing Langjökuls með hæð og uppsöfnuð dreifing afkomu með hæð. Flatardreifingar eru unnar eftir nýju yfirborðskorti Langjökuls fyrir árið 2007 sem byggð er á korti unnu eftir gervitunglamyndum frá 2004, lagað eftir GPS hæðarsniðum sem mæld voru vítt og breytt um jökulinn vorið 2007.

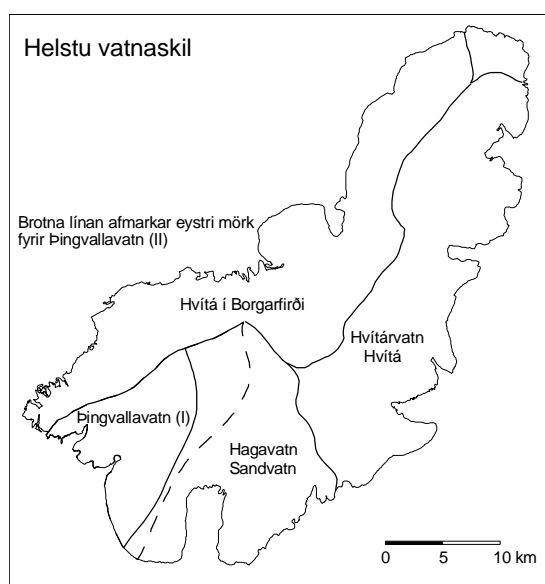


8. mynd. Samhengi ársafkomu og: a. vetrarafkomu, b. sumarafkomu, c. hæð jafnvægislínu, d. hlutfalls safnsvæðis af heildarflatarmáli (AAR).

Á 8. mynd er sýnt samband milli ársafkomu og: a. vetrar-afkomu, b. sumarafkomu, c. Hæð jafnvægislínu (ELA) og d. hlutfalls ákomusvæðis af heildar-flatarmáli jökulsins (AAR). Samhengi milli þessara stærða má nálga með beinni línu eins og sýnt er á myndunum. Þetta samband má nota til að nálgast gildi ársafkomu ef ELA eða AAR er þekkt, t.d. fundið með myndatöku úr lofti eða utan úr geimnum. Við mat bestu beinu línu fyrir ELA og AAR er árunum 1997-98 og 2010 sleppt; (1997-98 var efri hluti jökulsins óvanalega skítugur vegna ryks sem barst yfir hann af hálandinu, þetta magnaði leysingu, einkum á efri hluta jökulsins en sumarið 2010 voru engar fyrningar). Þessar einföldu nálganir benda til að AAR væri nærrí 55% og hæð jafnvægislínu á snnanverðum jöklinum um 1000 m ef Langjökull væri í jafnvægi miðað við núverandi lögum (heildarársafkoman væri 0). Af mynd 8. a og b má ráða að til að halda jafnvægi við núverandi lögum (ársafkoma=0) þyrfti vetrarafkoma og sumarleysing að vera rétt tæpir 2 m.

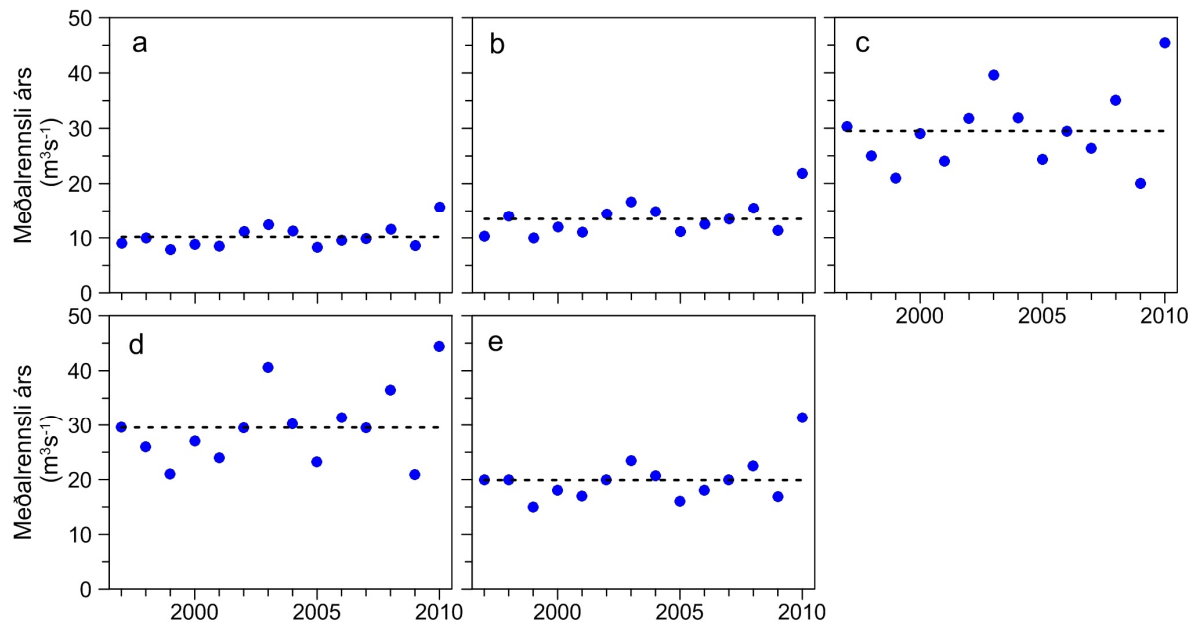
Afkoma Langjökuls hefur verið neikvæð allan tímann sem hún hefur verið mæld, frá 1996-97 þó síðasta ár taki steininn úr. Samtals hefur jöklinninn á 14 árum rýrnað um 20.22 m eða 18.2 km<sup>3</sup> (vatnsjafngildi). Þetta svarar til 20.2 km<sup>3</sup> af ís, sem er 10.6 % rýrnun rúmmáls alls jökulsins eða 0.76 % ári.

#### 4. Afrennsli leysingavatns frá Langjökli.



9. mynd. Helstu vatnaskið og vatnaskil á Langjökli. Vatnsvæði Þingvallavatns er afmarkað á tvo vegu, I og II, sjá texta.

jöklí dregin með sömu aðferðum og fyrir önnur vatnaskil (vatnsvið Þingvallavatns (II)). Reiknað var sumarleysingavatn frá jöklinum til nokkurra vatnsviða: Hagavatns og Sandvatns (eystra),



10. mynd. Meðalársafrrensli leysingarvatns frá vatnsviðum helstu vatnsfalla frá Langjökli 1997-2010. a: Vatnsvið Þingvallavatns (I); b: Vatnsvið Þingvallavatns (II); c: Hvítá í Borgarfirði; d: Hvítárvatn, Hvítá; e: Hagavatn, Sandvatn. Meðalársafrrensli leysingar allt tímabilið er sýnt með brotinni línu.

vatnasviðs Þingvallavatns, Hvítár í Borgarfirði og Hvítárvatns, Hvítár í Árnessýslu. Í töflu I. eru settar fram tölur um leysingavatn sumurin 1997 til 2010. Meðalafrennsli á flatareiningu sumarið 2010 var nokkuð breytilegt milli vatnasviða, um  $151\text{--}167 \text{ ls}^{-1}\text{km}^{-2}$ , hæst á sunnanverðum jöklinum. Töflur um afrennsli frá helstu vatnsviðum eftir hæðarbilum eru í viðauka E.

Meðalafrennsli á flatareiningu hefur verið á bilinu  $71\text{--}158 \text{ ls}^{-1}\text{km}^{-2}$  frá því mælingar hófust 1997. Meðalafrennsli á flatareiningu vegna leysingar sumarsins 2010 var  $158 \text{ ls}^{-1}\text{km}^{-2}$ . Á 10. mynd er sýndur breytileiki meðal-ársfrennlis leysingarvatns  $Q_a$ . Meðalársfrennsli leysingar allt tímabilið (10. mynd brotin lína) er: a: Vatnsvið Pingvallavatns (I)  $10,2 \text{ m}^3\text{s}^{-1}$ ; b: Vatnsvið Þingvallavatns (II)  $13,5 \text{ m}^3\text{s}^{-1}$ ; c: Hvítá í Borgarfirði  $29,5 \text{ m}^3\text{s}^{-1}$ ; d: Hvítárvatn, Hvítá  $29,5 \text{ m}^3\text{s}^{-1}$ ; e: Hagavatn, Sandvatn  $19,9 \text{ m}^3\text{s}^{-1}$ .

## Tafla I. Afrennsli leysingavatns frá Langjökli til helstu vatnasviða.

| År: 96-06                 | $\Sigma Q_s$<br>( $10^6 m^3$ ) |      |      |      |      |      |      |      |      |      |      |      |             |      |                               |             |    |    |     | $Q_s$<br>( $m^3 s^{-1}$ ) |     |    |     |     |     |    |            |    |           |            |
|---------------------------|--------------------------------|------|------|------|------|------|------|------|------|------|------|------|-------------|------|-------------------------------|-------------|----|----|-----|---------------------------|-----|----|-----|-----|-----|----|------------|----|-----------|------------|
|                           | 07                             | 97   | 98   | 99   | 00   | 01   | 02   | 03   | 04   | 05   | 06   | 07   | 08          | 09   | <b>10</b>                     | 97          | 98 | 99 | 00  | 01                        | 02  | 03 | 04  | 05  | 06  | 07 | 08         | 09 | <b>10</b> |            |
| <b>A</b>                  | 100                            | 95   | 284  | 326  | 248  | 277  | 269  | 351  | 390  | 355  | 262  | 298  | 312         | 366  | 271                           | <b>496</b>  | 22 | 25 | 19  | 21                        | 20  | 27 | 30  | 27  | 20  | 23 | 24         | 28 | 20        | <b>38</b>  |
| <b>B</b>                  | 146                            | 139  | 326  | 435  | 331  | 377  | 357  | 456  | 526  | 467  | 353  | 394  | 425         | 488  | 358                           | <b>690</b>  | 25 | 33 | 25  | 29                        | 27  | 35 | 40  | 35  | 27  | 30 | 32         | 37 | 27        | <b>52</b>  |
| <b>C</b>                  | 315                            | 305  | 957  | 796  | 663  | 927  | 771  | 1002 | 1248 | 1007 | 768  | 928  | 830         | 1104 | 629                           | <b>1433</b> | 72 | 60 | 50  | 70                        | 58  | 76 | 94  | 76  | 58  | 70 | 63         | 84 | 48        | <b>108</b> |
| <b>D</b>                  | 295                            | 294  | 934  | 816  | 660  | 842  | 751  | 931  | 1280 | 952  | 733  | 991  | 929         | 1149 | 658                           | <b>1402</b> | 71 | 62 | 50  | 64                        | 57  | 70 | 97  | 72  | 55  | 75 | 70         | 87 | 50        | <b>106</b> |
| <b>E</b>                  | 197                            | 190  | 627  | 634  | 488  | 560  | 526  | 631  | 738  | 652  | 507  | 567  | 630         | 709  | 533                           | <b>989</b>  | 47 | 48 | 37  | 42                        | 40  | 48 | 56  | 49  | 38  | 43 | 48         | 54 | 40        | <b>75</b>  |
| $Q_a$<br>( $m^3 s^{-1}$ ) |                                |      |      |      |      |      |      |      |      |      |      |      |             |      | $q_s$<br>( $s^{-1} km^{-2}$ ) |             |    |    |     |                           |     |    |     |     |     |    |            |    |           |            |
| 97                        | 98                             | 99   | 00   | 01   | 02   | 03   | 04   | 05   | 06   | 07   | 08   | 09   | <b>10</b>   | 97   | 98                            | 99          | 00 | 01 | 02  | 03                        | 04  | 05 | 06  | 07  | 08  | 09 | <b>10</b>  |    |           |            |
| 9,0                       | 10,3                           | 7,9  | 8,8  | 8,5  | 11,1 | 12,4 | 11,3 | 8,3  | 9,5  | 9,9  | 11,6 | 8,6  | <b>15,7</b> | 90   | 103                           | 79          | 88 | 85 | 111 | 124                       | 113 | 83 | 95  | 105 | 123 | 91 | <b>167</b> |    |           |            |
| 10,3                      | 13,8                           | 10,5 | 12,0 | 11,3 | 14,5 | 16,7 | 14,8 | 11,2 | 12,5 | 13,5 | 15,5 | 11,4 | <b>21,9</b> | 71   | 94                            | 72          | 82 | 78 | 99  | 114                       | 102 | 76 | 86  | 97  | 111 | 82 | <b>157</b> |    |           |            |
| 30,3                      | 25,2                           | 21,0 | 29,4 | 24,4 | 31,8 | 39,6 | 31,9 | 24,3 | 29,4 | 26,3 | 35,0 | 19,9 | <b>45,4</b> | 96   | 80                            | 67          | 93 | 78 | 101 | 126                       | 101 | 77 | 93  | 86  | 114 | 65 | <b>149</b> |    |           |            |
| 29,6                      | 25,9                           | 20,9 | 26,7 | 23,8 | 29,5 | 40,6 | 30,2 | 23,2 | 31,4 | 29,4 | 36,4 | 20,9 | <b>44,5</b> | 100  | 88                            | 71          | 91 | 81 | 100 | 138                       | 102 | 79 | 106 | 100 | 124 | 71 | <b>151</b> |    |           |            |
| 19,9                      | 20,1                           | 15,5 | 17,8 | 16,7 | 20,0 | 23,4 | 20,7 | 16,1 | 18,0 | 20,0 | 22,5 | 16,9 | <b>31,4</b> | 101  | 102                           | 79          | 90 | 85 | 102 | 119                       | 105 | 82 | 91  | 105 | 118 | 89 | <b>165</b> |    |           |            |

**A:** Þingvallavatn-I; **B:** Þingvallavatn-II, **C:** Hvítá í Borgarfirði, **D:** Hvítárvatn, Hvítá, **E:** Hagavatn, Sandvatn.  
**A:** Elektromál vatnaveiða undir jökli

A: Flatarmál vatnasviðs undir jöklum  
ΣΩ : heildarfreppni leysingavætna

$\Sigma Q_s$ : heildarafrennsli leysingavatns

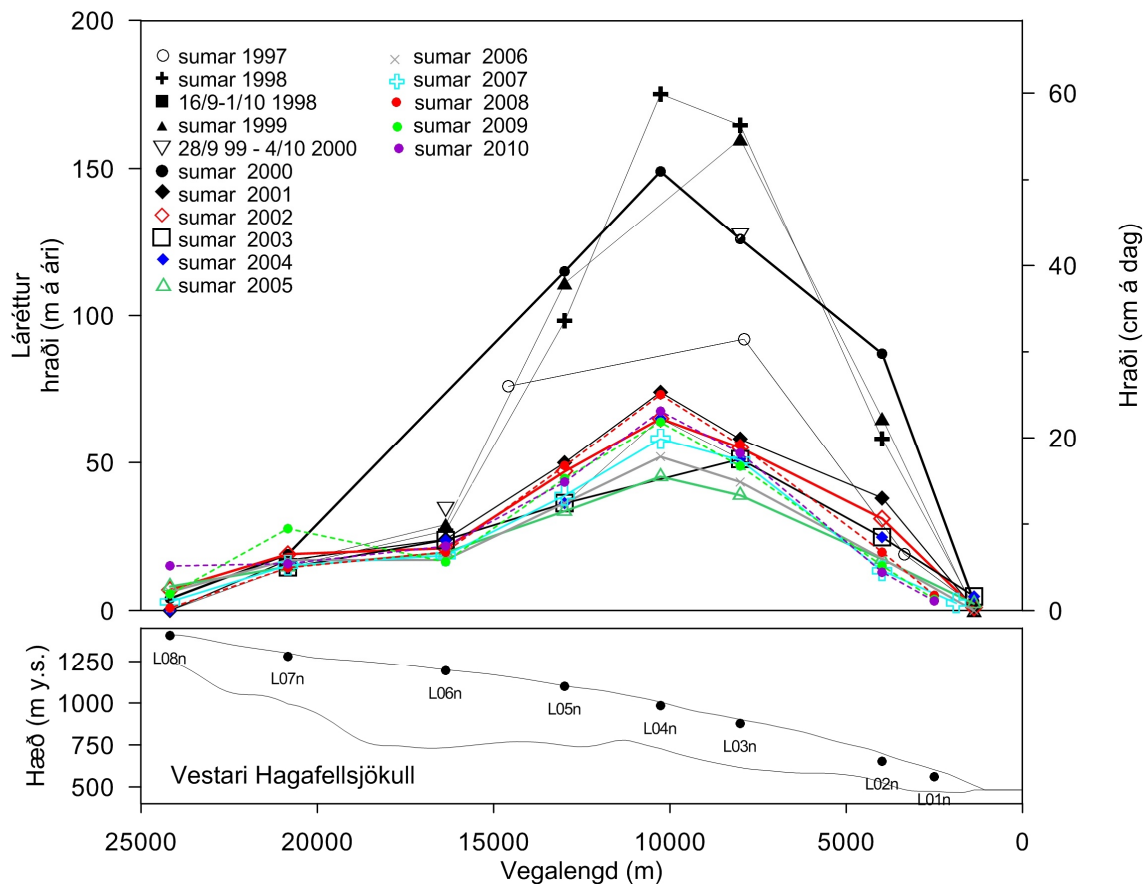
Q<sub>s</sub>: meðalrennsli (mai-september, 5 mánuðir)

Q<sub>a</sub>: meðalrennsli (12 mánuðir)

$q_s$ : meðalafrennsli á flatareiningu jöklus (12 mánuðir)

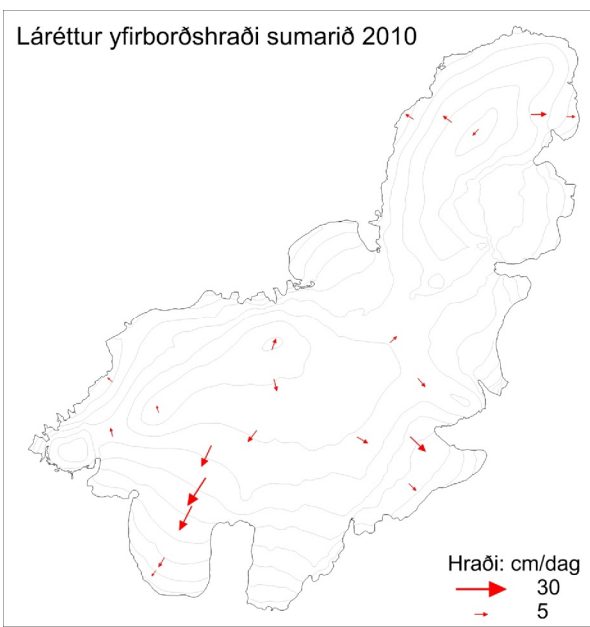
(ath: flatarmál vatnsviða árið 2010 eru unnin eftir hæðarkorti af Langjökli fyrir árið 2007)

## 5. Hraðamælingar.



11. mynd. Þversnið niður miðjan Hagafellsjökul vestari (yfirborð 1997, punktar sýna yfirborðshæð 2010) og mældur yfirborðshraði á því sniði sumurin 1997, 1998, 1999, 2000, 2001, 2002, 2003, 2004, 2005, 2006, 2007, 2008, 2009, 2010 og haustið 1998.

Yfirborðshreyfing jöklusins var mæld í öllum afkomumæli-punktum, með nákvæmri GPS staðsetningu stika að vori og hausti. Þessar mælingar eru gerðar til að kanna flutning fyrninga frá ákomusvæði til leysingasvæðis. Ef jökkullinn er í jafnvægi flyst jafnmikið niður á leysingasvæðin og safnast á ákomusvæðin og hraðinn sem til þarf kallast jafnvægishraði. Með samanburði mælðs yfirborðshraða og reiknaðs jafnvægis-hraða sést hvort jökkullinn hreyfist nægilega hratt til að bera fram afkomu sem á hann safnast. Ef jafnvægishraðinn er hærri en mældur hraði safnast fyrningar á ákomusvæði, jökkullinn verður æ brattari og stefnir í framhlaup. Á 11. mynd sést hvernig hraði hefur breyst á



12. mynd. Meðaltal láréttus yfirborðshraða sumarið 2010.

Vestari Hagafellsjöklí frá sumrinu 1997 til sumarsins 2010. Lárétti hraðinn er nú svipaður og síðustu ár. Á 12. mynd eru sýndir hraðavigrar í öllum mælistíkum. Engar vísbendingar eru um að framhlaup sé í aðsigi á skriðjöklum Langjökuls. Hnit allra hraðamælipunkta eru sýnd í viðauka C og hraði í viðauka D.

## 6. Lokaorð.

Afkoma Langjökuls á jökulárinu 2009-2010 var neikvæð um 3.81 m (vatnsgildi, jafndreift yfir allan jökulinn ( $\sim 900 \text{ km}^2$ )). Afkoma hefur verið neikvæð öll þau 14 ár sem hún hefur verið mæld, samtals um 20.2 m að vatnsgildi jafndreift yfir jökulinn eða ísbryning um 22.4 m. Á þessu 13 ára tímabili hefur Langjökull tapað um 10.6 % massa síns.

Vetrarrafkoman var 1.10 m sem er um 65% af meðaltali mælitímabilsins og sumarleysing 4.91 m eða 57% yfir meðallagi frá 1996-97 til 2009-10. Leysing var mjög aukin vegna öskuslikju frá Eyjafjallajöklí sem lagðist yfir Langjökul undir goslok (um miðjan maí), en sumarið var líka óvenjulega hlítt (um  $1.5^\circ\text{C}$  yfir meðaltali mkælitímabilsins) og sólríkt.

Petta ár voru engar fyrningar eftir jökulárið, ákomusvæði Langjökuls því 0 % af flatarmáli hans og hæð jafnvægislinu ofan hæstu toppa jöklusins bæði á Baldjökli (1435 m) og á suðurhluta jöklusins (1415 m). Afrennsli leysingarvatns frá jöklinum var um  $141 \text{ m}^3\text{s}^{-1}$  eða  $158 \text{ ls}^{-1}\text{km}^{-2}$  að jafnaði yfir árið.

## Viðauki A : Afkoma í mælipunktum 2009-2010.

**b<sub>w</sub>**: vetrarafkoma, **b<sub>s</sub>**: sumarafkoma, **b<sub>n</sub>**: ársafkoma.

| Mæli-<br>stika | Staðsetning | Hæð    | Dags.<br>(m y.s.) | Dags.<br>að vori | Dags.<br>að hausti | b <sub>w</sub><br>(mm) | b <sub>s</sub><br>(mm) | b <sub>n</sub><br>(mm) | nýsnjór<br>að hausti<br>(mm) |
|----------------|-------------|--------|-------------------|------------------|--------------------|------------------------|------------------------|------------------------|------------------------------|
| L01            | 64          | 30,638 | 20                | 27,467           | 565                | 100417                 | 101124                 | 24                     | -8196 -8172 0                |
| L02            | 64          | 31,114 | 20                | 26,734           | 658                | 100417                 | 101004                 | 173                    | -8129 -7956 0                |
| Hod01          | 64          | 31,500 | 20                | 25,996           | 720                | 100417                 |                        | 206                    |                              |
| L03            | 64          | 33,020 | 20                | 24,443           | 884                | 100417                 | 101004                 | 803                    | -5636 -4833 0                |
| L04            | 64          | 34,168 | 20                | 23,396           | 989                | 100417                 | 101004                 | 1053                   | -5193 -4140 0                |
| L05            | 64          | 35,690 | 20                | 22,512           | 1107               | 100417                 | 101004                 | 1816                   | -4896 -3080 0                |
| L06            | 64          | 36,581 | 20                | 17,990           | 1199               | 100418                 | 101004                 | 1500                   | -3666 -2166 10               |
| L07            | 64          | 38,781 | 20                | 15,795           | 1285               | 100419                 | 101124                 | 2020                   | -3496 -1476 950              |
| L08            | 64          | 40,518 | 20                | 16,031           | 1411               | 100419                 | 101004                 | 2068                   | -3412 -1344 40               |
| L09            | 64          | 37,649 | 20                | 27,465           | 1379               | 100419                 | 101004                 | 2000                   | -3044 -1044 500              |
| L10            | 64          | 36,601 | 20                | 32,009           | 1136               | 100419                 | 101004                 | 1240                   | -4443 -3203 30               |
| L11            | 64          | 38,850 | 20                | 32,297           | 858                | 100419                 | 101124                 | 920                    | -7553 -6633 500              |
| L12            | 64          | 34,533 | 20                | 1,950            | 836                | 100419                 | 100923                 | 561                    | -5880 -5319 0                |
| L13            | 64          | 36,371 | 20                | 1,490            | 886                | 100419                 | 100923                 | 930                    | -5475 -4545 0                |
| L14            | 64          | 39,000 | 20                | 1,220            | 1157               | 100419                 | 101004                 | 1420                   | -3850 -2430 0                |
| L15            | 64          | 40,813 | 20                | 4,106            | 1187               | 100418                 | 101004                 | 1840                   | -4210 -2370 30               |
| L16            | 64          | 38,520 | 20                | 10,140           | 1264               | 100419                 |                        | 1670                   |                              |
| L17            | 64          | 44,997 | 19                | 59,576           | 1345               | 100418                 |                        | 1210                   |                              |
| L20            | 64          | 50,389 | 20                | 2,859            | 987                | 100418                 | 100923                 | 490                    | -6520 -6030 0                |
| L19            | 64          | 50,314 | 19                | 59,049           | 1283               | 100418                 | 100923                 | 1410                   | -3386 -1976 50               |
| L18            | 64          | 49,773 | 19                | 56,185           | 1430               | 100418                 | 100923                 | 1290                   | -2430 -1140 100              |
| L21            | 64          | 50,571 | 19                | 49,880           | 1150               | 100418                 | 100923                 | 850                    | -4171 -3321 50               |
| L22            | 64          | 50,492 | 19                | 46,664           | 961                | 100418                 | 100923                 | 560                    | -5627 -5067 0                |
| L23            | 64          | 36,500 | 20                | 7,009            | 1165               | 100418                 | 101004                 | 1710                   | -4514 -2804 10               |

Ath. Afkomutölur eru vatnsjafngildi. Grafið var niður á sumaryfirborð að hausti, og snjóþekja ofan á því ekki talin til sumars (verður með í næsta vetri). Í töflunni eru vatnsgildi nýsnævis í mælipunktum; snjórinn var ekki mjög þéttur og eðlismassi metinn  $350 \text{ kg/m}^3$ .

## Viðauki B : Dreifing afkomu með hæð jökulárið 2009 - 2010

$\Delta S$  : flatarmál á hverju hæðarbili,  $\dot{\Delta}S$ : uppsafnað flatarmál ofan gefinnar hæðar, bw: vetrarrafkoma, bs: sumarrafkoma. bn: ársafkoma,  $\Delta B_w$  : vetrarrafkoma á hæðarbili,  $\dot{\Delta}B_w$ : uppsöfnuð vetrarrafkoma ofan hæðarbils,  $\Delta B_s$ : sumarrafkoma á hæðarbili,  $\dot{\Delta}B_s$ : uppsöfnuð sumarrafkoma ofan hæðarbils,  $\Delta B_n$ : ársafkoma á hæðarbili,  $\dot{\Delta}B_n$ : uppsöfnuð ársafkoma ofan hæðarbils.

| Hæðarbil<br>(m y. s.) | $\Delta S$<br>(km <sup>2</sup> ) | $\dot{\Delta}S$<br>(km <sup>2</sup> ) | bw<br>(mm) | bs<br>(mm) | bn<br>(mm) | $\Delta B_w$<br>(10 <sup>6</sup> m <sup>3</sup> ) | $\dot{\Delta}B_w$<br>(10 <sup>6</sup> m <sup>3</sup> ) | $\Delta B_s$<br>(10 <sup>6</sup> m <sup>3</sup> ) | $\dot{\Delta}B_s$<br>(10 <sup>6</sup> m <sup>3</sup> ) | $\Delta B_n$<br>(10 <sup>6</sup> m <sup>3</sup> ) | $\dot{\Delta}B_n$<br>(10 <sup>6</sup> m <sup>3</sup> ) |        |         |
|-----------------------|----------------------------------|---------------------------------------|------------|------------|------------|---|--|---|--|---|--|--------|---------|
| 1400                  | 1450                             | 1425                                  | 7,1        | 7,1        | 1343       | -2745   | -1401  | 9,5   | 9,5  | -19,4   | -19,4  | -9,9   | -9,9    |
| 1350                  | 1400                             | 1375                                  | 28,5       | 35,6       | 1413       | -3068   | -1655  | 40,3  | 49,8   | -87,5   | -106,9   | -47,2  | -57,1   |
| 1300                  | 1350                             | 1325                                  | 56,9       | 92,5       | 1434       | -3321   | -1886  | 81,7  | 131,5  | -189,1  | -296,0   | -107,4 | -164,5  |
| 1250                  | 1300                             | 1275                                  | 79,2       | 171,7      | 1488       | -3573   | -2084  | 117,8   | 249,3  | -283,0  | -579,0   | -165,1 | -329,7  |
| 1200                  | 1250                             | 1225                                  | 97,6       | 269,3      | 1502       | -3887   | -2385  | 146,7   | 396,0  | -379,4  | -958,4   | -232,7 | -562,4  |
| 1150                  | 1200                             | 1175                                  | 101,4      | 370,7      | 1413       | -4214   | -2801  | 143,3   | 539,3  | -426,7  | -1385,1  | -283,5 | -845,8  |
| 1100                  | 1150                             | 1125                                  | 99,9       | 470,6      | 1273       | -4551   | -3277  | 127,3   | 666,6  | -454,6  | -1839,7  | -327,3 | -1173,1 |
| 1050                  | 1100                             | 1075                                  | 88,6       | 559,2      | 1126       | -4940   | -3814  | 99,8  | 766,4  | -439,0  | -2278,7  | -339,2 | -1512,3 |
| 1000                  | 1050                             | 1025                                  | 76,4       | 635,6      | 1004       | -5257   | -4253  | 76,7  | 843,1  | -404,5  | -2683,1  | -327,8 | -1840,1 |
| 950                   | 1000                             | 975                                   | 56,4       | 692,0      | 904        | -5514   | -4609  | 51,0  | 894,1  | -315,4  | -2998,5  | -264,4 | -2104,5 |
| 900                   | 950                              | 925                                   | 52,8       | 744,8      | 809        | -5748   | -4939  | 42,7  | 936,8  | -310,3  | -3308,8  | -267,6 | -2372,0 |
| 850                   | 900                              | 875                                   | 43,4       | 788,2      | 690        | -5975   | -5284  | 29,9  | 966,7  | -265,5  | -3574,3  | -235,6 | -2607,6 |
| 800                   | 850                              | 825                                   | 31,8       | 820,0      | 525        | -6434   | -5909  | 16,7  | 983,4  | -209,9  | -3784,2  | -193,1 | -2800,8 |
| 750                   | 800                              | 775                                   | 27,2       | 847,2      | 367        | -6974   | -6606  | 10,0  | 993,5  | -191,8  | -3976,0  | -181,8 | -2982,5 |
| 700                   | 750                              | 725                                   | 21,2       | 868,4      | 253        | -7468   | -7215  | 5,4   | 998,8  | -159,3  | -4135,3  | -153,9 | -3136,4 |
| 650                   | 700                              | 675                                   | 13,0       | 881,4      | 170        | -8030   | -7860  | 2,2   | 1001,1   | -103,4  | -4238,7  | -101,2 | -3237,6 |
| 600                   | 650                              | 625                                   | 10,0       | 891,4      | 97         | -8608   | -8510  | 1,0   | 1002,0   | -81,3   | -4319,9  | -80,3  | -3317,9 |
| 550                   | 600                              | 575                                   | 6,7        | 898,1      | 41         | -9159   | -9117  | 0,3   | 1002,3   | -56,0   | -4375,9  | -55,7  | -3373,6 |
| 500                   | 550                              | 525                                   | 5,4        | 903,5      | 4          | -9557   | -9552  | 0,0   | 1002,3   | -46,2   | -4422,2  | -46,2  | -3419,9 |
| 450                   | 500                              | 475                                   | 3,4        | 906,9      | -23        | -9857   | -9881  | 0,0   | 1002,2   | -29,7   | -4451,9  | -29,8  | -3449,6 |
| 400                   | 450                              | 425                                   | 0,3        | 907,2      | -43        | -10021  | -10065   | 0,0   | 1002,2   | -2,5  | -4454,4  | -2,5   | -3452,1 |

## Viðauki C: Hnit hraðamælipunkta 2010

Mæld staðsetning mælistika á Langjökli 2010, GPS mælingar. Nákvæmni er áæthluð betri en 1 m lárétt og 2 m lóðrétt fyrir mælingar merktar I (submeter DGPS) og um 5 cm fyrir mælingar merktar K og FS (Kinematic eða faststatic GPS).  $h_l$  er hæð yfir ellipsóíðu (ISNET-93, NKG96 GeoÍða),  $\Delta L$  loftnetshæð og N áætlaður mismunur ellipsóíðu og geóÍðuhæðar, ( $H = h_l - N - \Delta L$ ).

| Stika | Dags. | Dagur<br>árs | Ár     | Breiddar-<br>gráða | Lengdar-<br>gráða | $h_l$<br>(m y. e.) | $\Delta L$<br>(m) | N<br>(m) | H<br>(m y. s.) |            |
|-------|-------|--------------|--------|--------------------|-------------------|--------------------|-------------------|----------|----------------|------------|
| L01n  | 16,26 | 17           | 4 107  | 2010               | 64 30,63793       | 20 27,46690        | 632,06            | 0,00     | -67,05         | 565,01 K   |
| L01n  | 11,75 | 24           | 11 328 | 2010               | 64 30,63709       | 20 27,46831        | 622,98            | 0,00     | -67,05         | 555,92 K   |
| L02n  | 16,87 | 17           | 4 107  | 2010               | 64 31,11408       | 20 26,73416        | 724,69            | 0,00     | -67,08         | 657,61 K   |
| L02n  | 15,28 | 4            | 10 277 | 2010               | 64 31,11128       | 20 26,73794        | 716,47            | -0,74    | -67,08         | 648,65 I   |
| Hod01 | 17,45 | 17           | 4 107  | 2010               | 64 31,49987       | 20 25,99570        | 786,96            | 0,00     | -67,10         | 719,86 K   |
| L03n  | 18,60 | 17           | 4 107  | 2010               | 64 33,01986       | 20 24,44322        | 950,87            | 0,00     | -67,17         | 883,70 K   |
| L03n  | 15,03 | 4            | 10 277 | 2010               | 64 33,00786       | 20 24,45673        | 940,77            | -0,74    | -67,16         | 872,86 I   |
| L04n  | 19,35 | 17           | 4 107  | 2010               | 64 34,16757       | 20 23,39633        | 1056,63           | 0,00     | -67,21         | 989,42 K   |
| L04n  | 14,88 | 4            | 10 277 | 2010               | 64 34,15321       | 20 23,41721        | 1045,81           | -0,72    | -67,21         | 977,88 I   |
| L05n  | 21,61 | 17           | 4 107  | 2010               | 64 35,69018       | 20 22,51161        | 1174,30           | 0,00     | -67,25         | 1107,05 K  |
| L05n  | 12,36 | 4            | 10 277 | 2010               | 64 35,68022       | 20 22,52170        | 1161,58           | -0,73    | -67,25         | 1093,60 I  |
| L06n  | 10,21 | 18           | 4 108  | 2010               | 64 36,58141       | 20 17,98964        | 1265,97           | 0,00     | -67,27         | 1198,70 K  |
| L06n  | 13,57 | 4            | 10 277 | 2010               | 64 36,57706       | 20 17,99710        | 1258,09           | -0,72    | -67,27         | 1190,09 I  |
| L07n  | 15,09 | 19           | 4 109  | 2010               | 64 38,78060       | 20 15,79533        | 1352,45           | 0,00     | -67,28         | 1285,16 E  |
| L07n  | 15,45 | 24           | 11 328 | 2010               | 64 38,77568       | 20 15,79216        | 1344,11           | 0,00     | -67,28         | 1276,83 FS |
| L08n  | 16,20 | 19           | 4 109  | 2010               | 64 40,51750       | 20 16,03057        | 1478,37           | 0,00     | -67,27         | 1411,10 K  |
| L08n  | 12,61 | 4            | 10 277 | 2010               | 64 40,52102       | 20 16,02778        | 1468,26           | -0,77    | -67,27         | 1400,21 I  |
| L09l  | 14,04 | 4            | 10 277 | 2010               | 64 37,65379       | 20 27,47362        | 1439,38           | -1,20    | -67,24         | 1370,94 I  |
| L09n  | 17,48 | 19           | 4 109  | 2010               | 64 37,64904       | 20 27,46480        | 1446,14           | 0,00     | -67,24         | 1378,90 K  |
| L10n  | 18,71 | 19           | 4 109  | 2010               | 64 36,60095       | 20 32,00925        | 1202,84           | 0,00     | -67,16         | 1135,67 K  |
| L10n  | 13,82 | 4            | 10 277 | 2010               | 64 36,60287       | 20 32,01041        | 1198,03           | -0,74    | -67,16         | 1130,13 I  |
| L11n  | 19,85 | 19           | 4 109  | 2010               | 64 38,84968       | 20 32,29668        | 924,91            | 0,00     | -67,12         | 857,79 K   |
| L11n  | 16,75 | 24           | 11 328 | 2010               | 64 38,84998       | 20 32,29753        | 915,72            | 0,00     | -67,12         | 848,61 FS  |
| L12n  | 10,30 | 19           | 4 109  | 2010               | 64 34,53326       | 20 1,95033         | 903,01            | 0,00     | -67,16         | 835,85 K   |
| L12n  | 17,13 | 23           | 9 266  | 2010               | 64 34,53156       | 20 1,94612         | 895,70            | -0,70    | -67,16         | 827,84 I   |
| L13n  | 11,08 | 19           | 4 109  | 2010               | 64 36,37063       | 20 1,48968         | 953,11            | 0,00     | -67,20         | 885,92 K   |
| L13n  | 16,93 | 23           | 9 266  | 2010               | 64 36,36451       | 20 1,47451         | 946,59            | -0,70    | -67,20         | 878,69 I   |
| L14n  | 12,11 | 19           | 4 109  | 2010               | 64 38,99970       | 20 1,22045         | 1224,61           | 0,00     | -67,24         | 1157,37 K  |
| L14n  | 13,07 | 4            | 10 277 | 2010               | 64 38,99714       | 20 1,21534         | 1216,33           | -0,73    | -67,24         | 1148,36 I  |
| L15n  | 13,78 | 18           | 4 108  | 2010               | 64 40,81312       | 20 4,10638         | 1254,67           | 0,00     | -67,27         | 1187,40 K  |
| L15n  | 12,83 | 4            | 10 277 | 2010               | 64 40,81457       | 20 4,10276         | 1246,03           | -0,73    | -67,27         | 1178,03 I  |
| L16n  | 13,96 | 19           | 4 109  | 2010               | 64 38,51996       | 20 10,13990        | 1331,63           | 0,00     | -67,28         | 1264,35 K  |
| L17n  | 14,98 | 18           | 4 108  | 2010               | 64 44,99707       | 19 59,57590        | 1412,10           | 0,00     | -67,26         | 1344,84 K  |
| L18n  | 18,53 | 18           | 4 108  | 2010               | 64 49,77269       | 19 56,18481        | 1497,12           | 0,00     | -67,25         | 1429,87 K  |
| L18n  | 15,53 | 23           | 9 266  | 2010               | 64 49,77141       | 19 56,18749        | 1491,30           | -0,70    | -67,25         | 1423,35 I  |
| L19n  | 17,45 | 18           | 4 108  | 2010               | 64 50,31372       | 19 59,04891        | 1349,89           | 0,00     | -67,23         | 1282,67 K  |
| L19n  | 15,25 | 23           | 9 266  | 2010               | 64 50,31550       | 19 59,05476        | 1341,87           | -0,70    | -67,23         | 1273,94 I  |

|      |       |    |    |     |      |    |          |    |          |         |       |        |         |   |
|------|-------|----|----|-----|------|----|----------|----|----------|---------|-------|--------|---------|---|
| L20n | 16,62 | 18 | 4  | 108 | 2010 | 64 | 50,38860 | 20 | 2,85855  | 1053,78 | 0,00  | -67,18 | 986,60  | K |
| L20n | 15,05 | 23 | 9  | 266 | 2010 | 64 | 50,38973 | 20 | 2,86295  | 1045,66 | -0,70 | -67,18 | 977,78  | I |
| L21n | 19,37 | 18 | 4  | 108 | 2010 | 64 | 50,57081 | 19 | 49,87977 | 1217,19 | 0,00  | -67,23 | 1149,96 | K |
| L21n | 15,78 | 23 | 9  | 266 | 2010 | 64 | 50,57109 | 19 | 49,86665 | 1211,37 | -0,70 | -67,23 | 1143,44 | I |
| L22n | 20,24 | 18 | 4  | 108 | 2010 | 64 | 50,49246 | 19 | 46,66386 | 1028,68 | 0,00  | -67,19 | 961,49  | K |
| L22n | 15,97 | 23 | 9  | 266 | 2010 | 64 | 50,49248 | 19 | 46,65984 | 1021,95 | -0,70 | -67,19 | 954,06  | I |
| L23b | 13,34 | 4  | 10 | 277 | 2010 | 64 | 36,46773 | 20 | 6,94195  | 1220,69 | -0,73 | -67,25 | 1152,70 | I |
| L23n | 12,65 | 18 | 4  | 108 | 2010 | 64 | 36,50049 | 20 | 7,00938  | 1232,52 | 0,00  | -67,25 | 1165,27 | K |
| L23n | 13,27 | 4  | 10 | 277 | 2010 | 64 | 36,49842 | 20 | 7,00072  | 1222,92 | -0,73 | -67,25 | 1154,93 | I |
| L00a | 14,43 | 4  | 10 | 277 | 2010 | 64 | 39,65081 | 20 | 18,88528 | 1418,08 | -0,87 | -67,27 | 1349,93 | I |

Ath. Hæð að hausti er miðuð við sumarflöt (hausthvörf), þ.e. grafið er í gegnum nýsnjóinn og hæð mæld miðað gamla hjarnið/í sinn undir nýsnjónum.

## Viðauki D: Mældur láréttur yfirborðshraði á Langjökli 2010

| Stika | dags.  | dagur<br>árs | dags.  | dagur<br>árs | daga<br>fjöldi | færsla<br>(m) | láréttur<br>( °) | hraði<br>(cm/dag) | hraði<br>(m/ári) |
|-------|--------|--------------|--------|--------------|----------------|---------------|------------------|-------------------|------------------|
| L01n  | 100417 | 107          | 101124 | 328          | 221            | 1,92          | 216              | 0,87              | 3,17             |
| L02n  | 100417 | 107          | 101004 | 277          | 170            | 6,00          | 210              | 3,53              | 12,89            |
| L03n  | 100417 | 107          | 101004 | 277          | 170            | 24,71         | 206              | 14,53             | 53,05            |
| L04n  | 100417 | 107          | 101004 | 277          | 170            | 31,39         | 212              | 18,46             | 67,39            |
| L05n  | 100417 | 107          | 101004 | 277          | 170            | 20,13         | 204              | 11,84             | 43,21            |
| L06n  | 100418 | 108          | 101004 | 277          | 169            | 10,01         | 216              | 5,93              | 21,63            |
| L07n  | 100419 | 109          | 101124 | 328          | 219            | 9,45          | 165              | 4,32              | 15,76            |
| L08n  | 100419 | 109          | 101004 | 277          | 168            | 6,89          | 19               | 4,10              | 14,96            |
| L09l  | 80831  | 244          | 101004 | 277          | 763            | 6,23          | 344              | 0,82              | 2,98             |
| L10n  | 100419 | 109          | 101004 | 277          | 168            | 3,67          | 345              | 2,19              | 7,98             |
| L11n  | 100419 | 109          | 101124 | 328          | 219            | 0,88          | 309              | 0,40              | 1,46             |
| L12n  | 100419 | 109          | 100923 | 266          | 157            | 4,61          | 133              | 2,93              | 10,71            |
| L13n  | 100419 | 109          | 100923 | 266          | 157            | 16,58         | 133              | 10,56             | 38,54            |
| L14n  | 100419 | 109          | 101004 | 277          | 168            | 6,25          | 139              | 3,72              | 13,57            |
| L15n  | 100418 | 108          | 101004 | 277          | 169            | 3,94          | 47               | 2,33              | 8,50             |
| L18n  | 100418 | 108          | 100923 | 266          | 158            | 3,18          | 222              | 2,01              | 7,35             |
| L19n  | 100418 | 108          | 100923 | 266          | 158            | 5,68          | 305              | 3,59              | 13,12            |
| L20n  | 100418 | 108          | 100923 | 266          | 158            | 4,06          | 301              | 2,57              | 9,38             |
| L21n  | 100418 | 108          | 100923 | 266          | 158            | 10,38         | 87               | 6,57              | 23,99            |
| L22n  | 100418 | 108          | 100923 | 266          | 158            | 3,18          | 89               | 2,01              | 7,34             |
| L23b  | 70925  | 268          | 101004 | 277          | 1104           | 47,17         | 145              | 4,27              | 15,59            |
| L23n  | 100418 | 108          | 101004 | 277          | 169            | 7,90          | 119              | 4,67              | 17,06            |

### **Viðauki E: Afrennsli vegna jökulleysingar sumarið 2009:**

$\Delta S$ : flatarmál á gefnu hæðarbili,  $\Delta Q_s$ : afrennsli á gefnu hæðarbili,  $\dot{a}Q_s$ : uppsafnað afrennsli leysingarvatns af jöklum ofan nefndrar hæðar.

#### **Allur Langjökull**

| Hæðarbil<br>m y. s. |      | $\Delta S$<br>$\text{km}^2$ | $\Delta Q_s$<br>( $10^6 \text{m}^3$ ) | $\dot{a}Q_s$<br>( $10^6 \text{m}^3$ ) |
|---------------------|------|-----------------------------|---------------------------------------|---------------------------------------|
| 1400                | 1450 | 7,1                         | 19,4                                  | 19,4                                  |
| 1350                | 1400 | 28,5                        | 87,5                                  | 106,9                                 |
| 1300                | 1350 | 56,9                        | 189,1                                 | 296,0                                 |
| 1250                | 1300 | 79,2                        | 283,0                                 | 579,0                                 |
| 1200                | 1250 | 97,6                        | 379,4                                 | 958,4                                 |
| 1150                | 1200 | 101,4                       | 426,7                                 | 1385,1                                |
| 1100                | 1150 | 99,9                        | 454,6                                 | 1839,7                                |
| 1050                | 1100 | 88,6                        | 439,0                                 | 2278,7                                |
| 1000                | 1050 | 76,4                        | 404,5                                 | 2683,1                                |
| 950                 | 1000 | 56,4                        | 315,4                                 | 2998,5                                |
| 900                 | 950  | 52,8                        | 310,3                                 | 3308,8                                |
| 850                 | 900  | 43,4                        | 265,5                                 | 3574,3                                |
| 800                 | 850  | 31,8                        | 209,9                                 | 3784,2                                |
| 750                 | 800  | 27,2                        | 191,8                                 | 3976,0                                |
| 700                 | 750  | 21,2                        | 159,3                                 | 4135,3                                |
| 650                 | 700  | 13,0                        | 103,4                                 | 4238,7                                |
| 600                 | 650  | 10,0                        | 81,3                                  | 4319,9                                |
| 550                 | 600  | 6,7                         | 56,0                                  | 4375,9                                |
| 500                 | 550  | 5,4                         | 46,2                                  | 4422,2                                |
| 450                 | 500  | 3,4                         | 29,7                                  | 4451,9                                |
| 400                 | 450  | 0,3                         | 2,5                                   | 4454,4                                |

### Vatnaskið Þingvallavatns (I)

| Hæðarbil<br>m y. s. |      | $\Delta S$<br>km <sup>2</sup> | $\Delta Q_s$<br>(10 <sup>6</sup> m <sup>3</sup> ) | $\dot{A}Q_s$<br>(10 <sup>6</sup> m <sup>3</sup> ) |
|---------------------|------|-------------------------------|---|---|
| 1350                | 1400 | 1,50                          | 4,8   | 4,8   |
| 1300                | 1350 | 5,80                          | 19,6  | 24,5  |
| 1250                | 1300 | 6,60                          | 23,7  | 48,2  |
| 1200                | 1250 | 7,30                          | 28,4  | 76,6  |
| 1150                | 1200 | 7,30                          | 31,3  | 107,9   |
| 1100                | 1150 | 8,20                          | 38,3  | 146,2   |
| 1050                | 1100 | 8,00                          | 39,4  | 185,6   |
| 1000                | 1050 | 7,30                          | 37,3  | 222,9   |
| 950                 | 1000 | 6,50                          | 33,9  | 256,8   |
| 900                 | 950  | 7,00                          | 37,7  | 294,6   |
| 850                 | 900  | 6,60                          | 38,5  | 333,0   |
| 800                 | 850  | 5,60                          | 35,8  | 368,9   |
| 750                 | 800  | 5,40                          | 37,9  | 406,8   |
| 700                 | 750  | 4,00                          | 30,3  | 437,1   |
| 650                 | 700  | 2,90                          | 22,9  | 460,0   |
| 600                 | 650  | 2,20                          | 17,8  | 477,8   |
| 550                 | 600  | 1,30                          | 10,9  | 488,7   |
| 500                 | 550  | 0,70                          | 6,1   | 494,8   |
| 450                 | 500  | 0,20                          | 1,4   | 496,2   |

### Vatnaskið Þingvallavatns (II)

| Hæðarbil<br>m y. s. |      | $\Delta S$<br>$\text{km}^2$ | $\Delta Q_s$<br>( $10^6 \text{m}^3$ ) | $\dot{A}Q_s$<br>( $10^6 \text{m}^3$ ) |
|---------------------|------|-----------------------------|---------------------------------------|---------------------------------------|
| 1400                | 1450 | 0,10                        | 0,4                                   | 0,4                                   |
| 1350                | 1400 | 4,10                        | 13,5                                  | 13,9                                  |
| 1300                | 1350 | 12,50                       | 43,1                                  | 56,9                                  |
| 1250                | 1300 | 13,60                       | 48,6                                  | 105,5                                 |
| 1200                | 1250 | 17,90                       | 67,1                                  | 172,6                                 |
| 1150                | 1200 | 12,40                       | 51,8                                  | 224,5                                 |
| 1100                | 1150 | 11,10                       | 51,8                                  | 276,2                                 |
| 1050                | 1100 | 9,90                        | 48,9                                  | 325,1                                 |
| 1000                | 1050 | 8,40                        | 43,0                                  | 368,2                                 |
| 950                 | 1000 | 7,20                        | 37,9                                  | 406,0                                 |
| 900                 | 950  | 7,70                        | 41,6                                  | 447,6                                 |
| 850                 | 900  | 7,10                        | 41,5                                  | 489,1                                 |
| 800                 | 850  | 6,10                        | 39,5                                  | 528,6                                 |
| 750                 | 800  | 5,90                        | 41,4                                  | 570,0                                 |
| 700                 | 750  | 4,70                        | 35,2                                  | 605,2                                 |
| 650                 | 700  | 3,40                        | 27,4                                  | 632,5                                 |
| 600                 | 650  | 3,00                        | 24,3                                  | 656,8                                 |
| 550                 | 600  | 2,00                        | 16,5                                  | 673,3                                 |
| 500                 | 550  | 1,30                        | 10,8                                  | 684,2                                 |
| 450                 | 500  | 0,70                        | 5,9                                   | 690,0                                 |

### Hvítá í Borgarfirði

| Hæðarbil<br>m y. s. | ΔS<br>km <sup>2</sup> | ΔQ <sub>s</sub><br>(10 <sup>6</sup> m <sup>3</sup> ) | ΔQ <sub>s</sub><br>(10 <sup>6</sup> m <sup>3</sup> ) |
|---------------------|-----------------------|--|--|
|---------------------|-----------------------|--|--|

|      |      |       |       |        |
|------|------|-------|-------|--------|
| 1400 | 1450 | 3,30  | 9,4   | 9,4    |
| 1350 | 1400 | 14,60 | 45,1  | 54,5   |
| 1300 | 1350 | 28,60 | 95,6  | 150,1  |
| 1250 | 1300 | 36,60 | 132,2 | 282,3  |
| 1200 | 1250 | 36,60 | 145,1 | 427,5  |
| 1150 | 1200 | 34,40 | 148,5 | 576,0  |
| 1100 | 1150 | 35,90 | 165,7 | 741,7  |
| 1050 | 1100 | 31,90 | 164,1 | 905,8  |
| 1000 | 1050 | 24,40 | 137,9 | 1043,8 |
| 950  | 1000 | 17,30 | 104,2 | 1147,9 |
| 900  | 950  | 14,60 | 94,0  | 1242,0 |
| 850  | 900  | 9,50  | 65,0  | 1307,0 |
| 800  | 850  | 7,00  | 49,8  | 1356,8 |
| 750  | 800  | 4,70  | 33,6  | 1390,5 |
| 700  | 750  | 3,60  | 27,0  | 1417,5 |
| 650  | 700  | 1,60  | 12,8  | 1430,2 |
| 600  | 650  | 0,40  | 2,9   | 1433,1 |

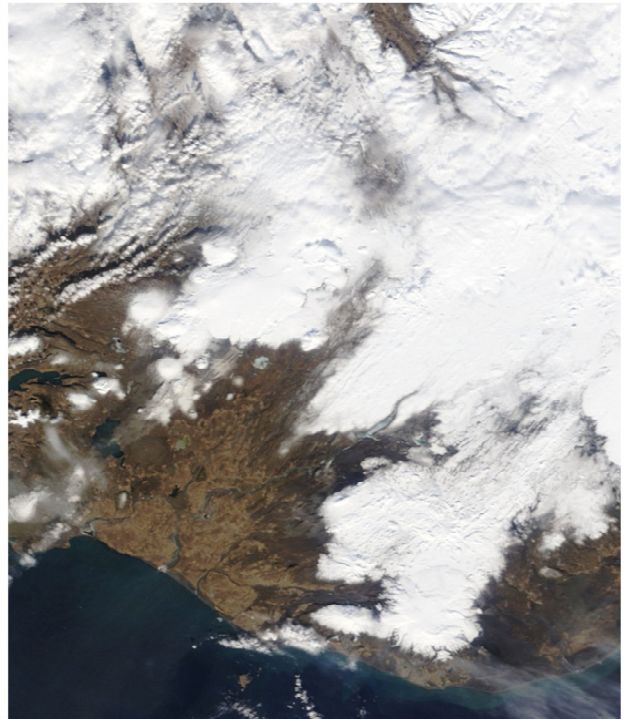
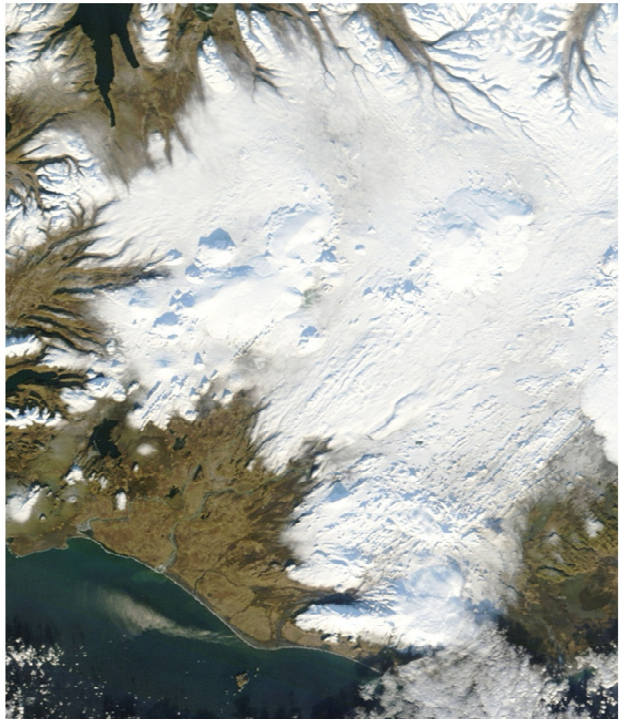
### Hvítárvatn, Hvítá í Árnæssýslu

| Hæðarbil<br>m y. s. |      | $\Delta S$<br>$\text{km}^2$ | $\Delta Q_s$<br>$(10^6 \text{m}^3)$ | $\dot{\Delta} Q_s$<br>$(10^6 \text{m}^3)$ |
|---------------------|------|-----------------------------|-------------------------------------|---|
| 1400                | 1450 | 3,50                        | 9,1                                 | 9,1                                       |
| 1350                | 1400 | 8,20                        | 23,5                                | 32,6                                      |
| 1300                | 1350 | 12,90                       | 40,4                                | 73,0                                      |
| 1250                | 1300 | 18,00                       | 62,7                                | 135,7                                     |
| 1200                | 1250 | 28,20                       | 110,0                               | 245,8                                     |
| 1150                | 1200 | 40,20                       | 165,5                               | 411,3                                     |
| 1100                | 1150 | 36,20                       | 159,0                               | 570,2                                     |
| 1050                | 1100 | 29,90                       | 141,6                               | 711,9                                     |
| 1000                | 1050 | 29,20                       | 149,2                               | 861,0                                     |
| 950                 | 1000 | 21,00                       | 115,5                               | 976,5                                     |
| 900                 | 950  | 20,30                       | 118,3                               | 1094,9                                    |
| 850                 | 900  | 17,40                       | 104,3                               | 1199,1                                    |
| 800                 | 850  | 10,20                       | 65,6                                | 1264,8                                    |
| 750                 | 800  | 8,20                        | 56,9                                | 1321,7                                    |
| 700                 | 750  | 5,40                        | 40,2                                | 1361,9                                    |
| 650                 | 700  | 1,90                        | 15,3                                | 1377,2                                    |
| 600                 | 650  | 1,20                        | 9,9                                 | 1387,0                                    |
| 550                 | 600  | 0,70                        | 6,5                                 | 1393,5                                    |
| 500                 | 550  | 0,60                        | 5,6                                 | 1399,1                                    |
| 450                 | 500  | 0,30                        | 2,7                                 | 1401,8                                    |
| 400                 | 450  | 0,00                        | 0,4                                 | 1402,2                                    |

### Hagavatn (og Sandvatn)

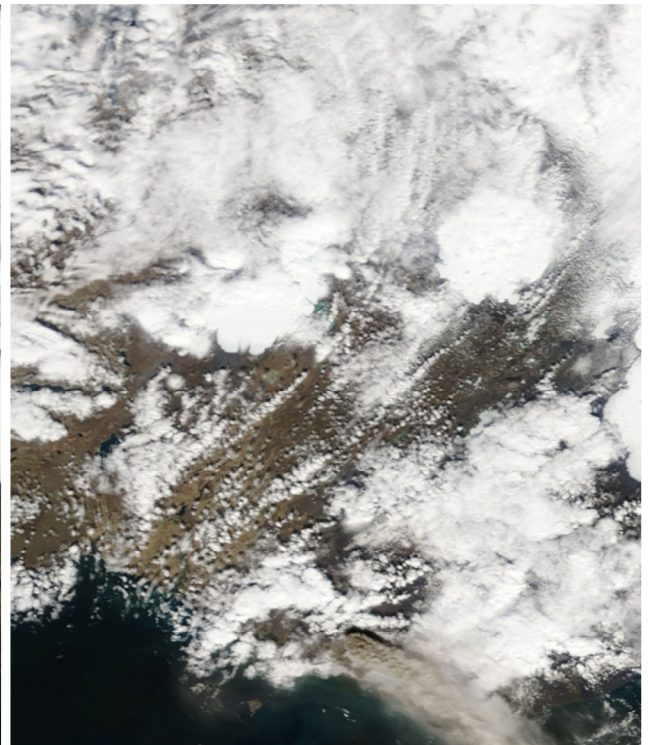
| Hæðarbil<br>m y. s. |      | $\Delta S$<br>$\text{km}^2$ | $\Delta Q_s$<br>$(10^6 \text{m}^3)$ | $\dot{a}Q_s$<br>$(10^6 \text{m}^3)$ |
|---------------------|------|-----------------------------|-------------------------------------|-------------------------------------|
| 1400                | 1450 | 0,30                        | 0,9                                 | 0,9                                 |
| 1350                | 1400 | 4,20                        | 14,1                                | 15,0                                |
| 1300                | 1350 | 9,60                        | 33,4                                | 48,4                                |
| 1250                | 1300 | 17,10                       | 61,1                                | 109,5                               |
| 1200                | 1250 | 22,90                       | 86,1                                | 195,6                               |
| 1150                | 1200 | 16,40                       | 69,0                                | 264,6                               |
| 1100                | 1150 | 16,60                       | 77,7                                | 342,3                               |
| 1050                | 1100 | 15,20                       | 74,7                                | 417,0                               |
| 1000                | 1050 | 12,80                       | 65,3                                | 482,3                               |
| 950                 | 1000 | 10,50                       | 54,8                                | 537,1                               |
| 900                 | 950  | 10,00                       | 54,0                                | 591,1                               |
| 850                 | 900  | 9,30                        | 54,0                                | 645,0                               |
| 800                 | 850  | 8,50                        | 55,1                                | 700,1                               |
| 750                 | 800  | 8,20                        | 58,0                                | 758,1                               |
| 700                 | 750  | 7,50                        | 56,3                                | 814,4                               |
| 650                 | 700  | 5,50                        | 43,9                                | 858,3                               |
| 600                 | 650  | 5,40                        | 43,5                                | 901,8                               |
| 550                 | 600  | 4,40                        | 36,3                                | 938,1                               |
| 500                 | 550  | 3,80                        | 32,1                                | 970,2                               |
| 450                 | 500  | 2,20                        | 18,6                                | 988,8                               |

**Viðauki F: MODIS gervihnattamyndir af Langjökli og nágrenni 2010.**

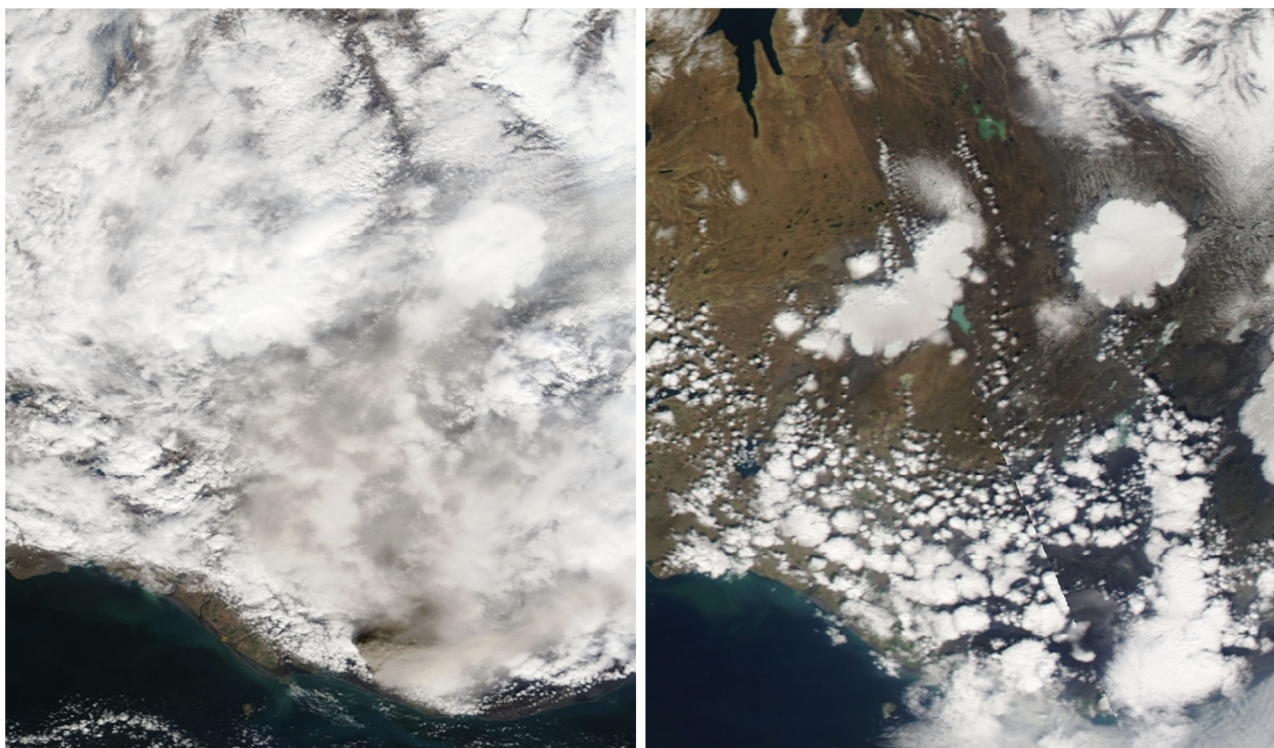


Vinstri: 3. febrúar 2010; Mjög lítt snjór á hálendinu, sérstaklega sunnanlands.

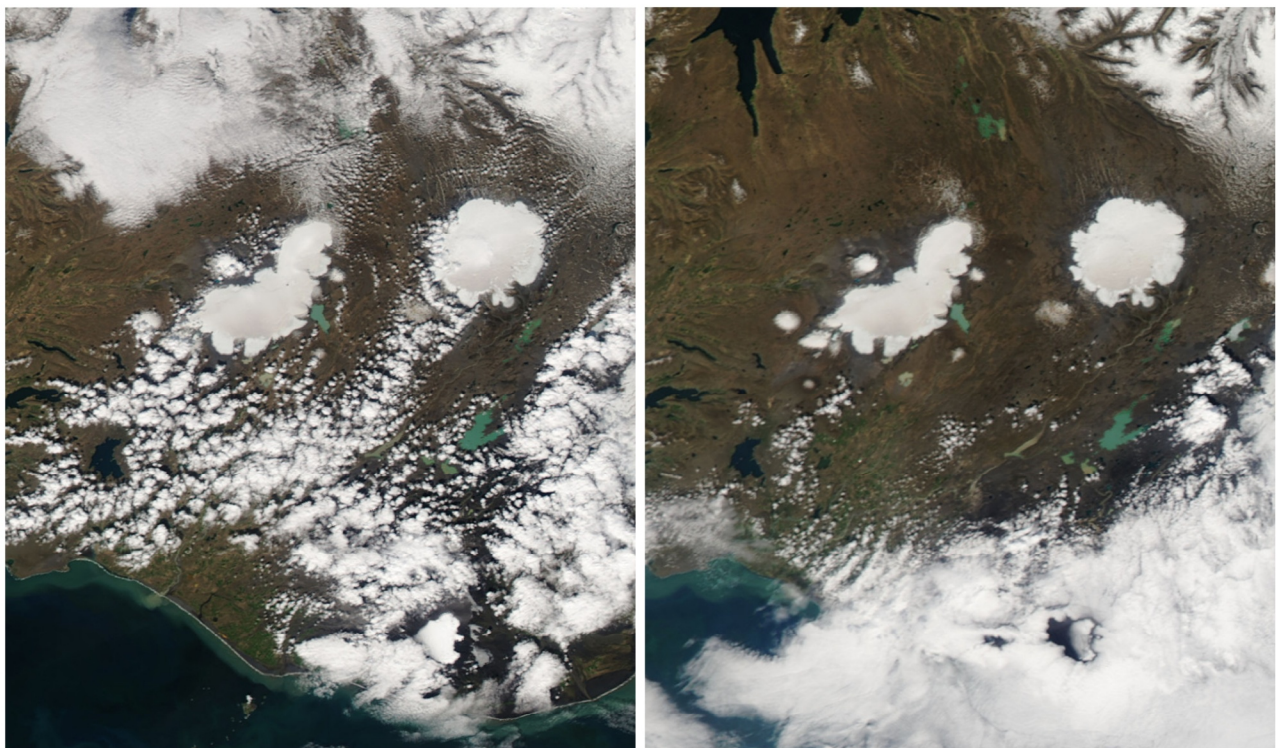
Hægri: 30. mars 2010; Enn mjög lítt snjór á hálendinu, hefur minnkað ef eitthvað er.



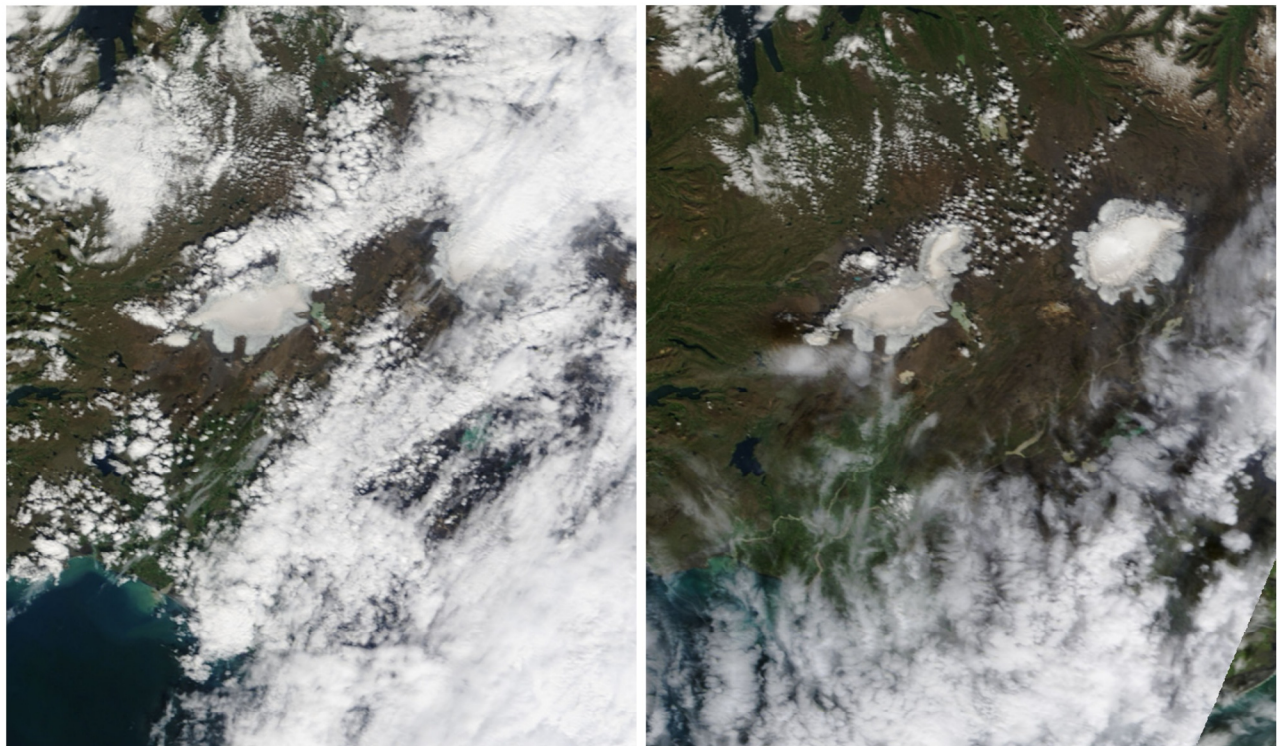
Vinstri: 11. maí 2010; Snjó á hálendinu hefur tekið upp að mestu, gosmökkur frá Eyjafjallajökli sést vel. Hægri: 16. maí 2010; Sama hér en mökkurinn stefnir austsuðaustur.



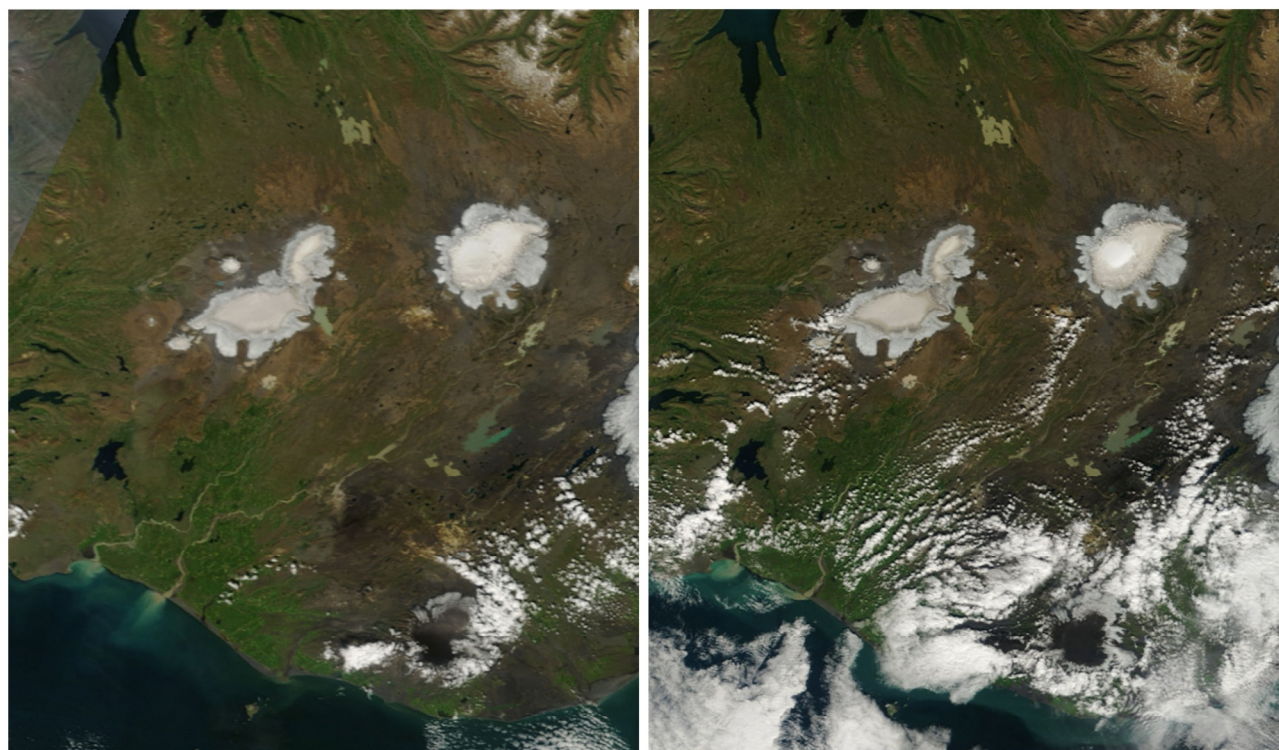
Vinstri: 17. maí 2010; Gosmökkur frá Eyjafjallajökli sem dreifist í allar áttir norður af gosstöðinni sést vel, þetta hafði ekki gerst áður. Hægri: 23. maí 2010; Fysrta mynd í heiðskíru sem sýna hvernig aska hefur lagst yfir Langjökul og Hofsjökul.



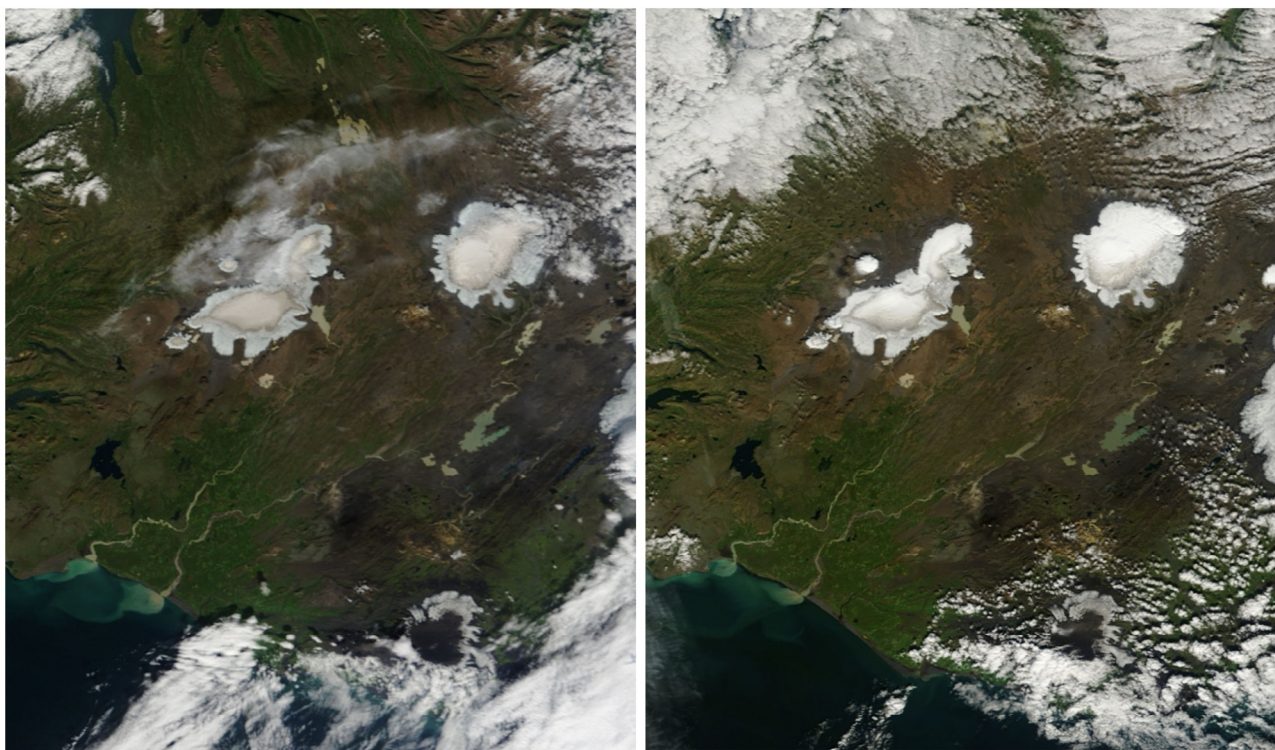
2. og 6. júní 2010; Snjór á lægstu sporðum hefur þegar bráðnað og askan þar skolast af, snælína er auðgreinanleg.



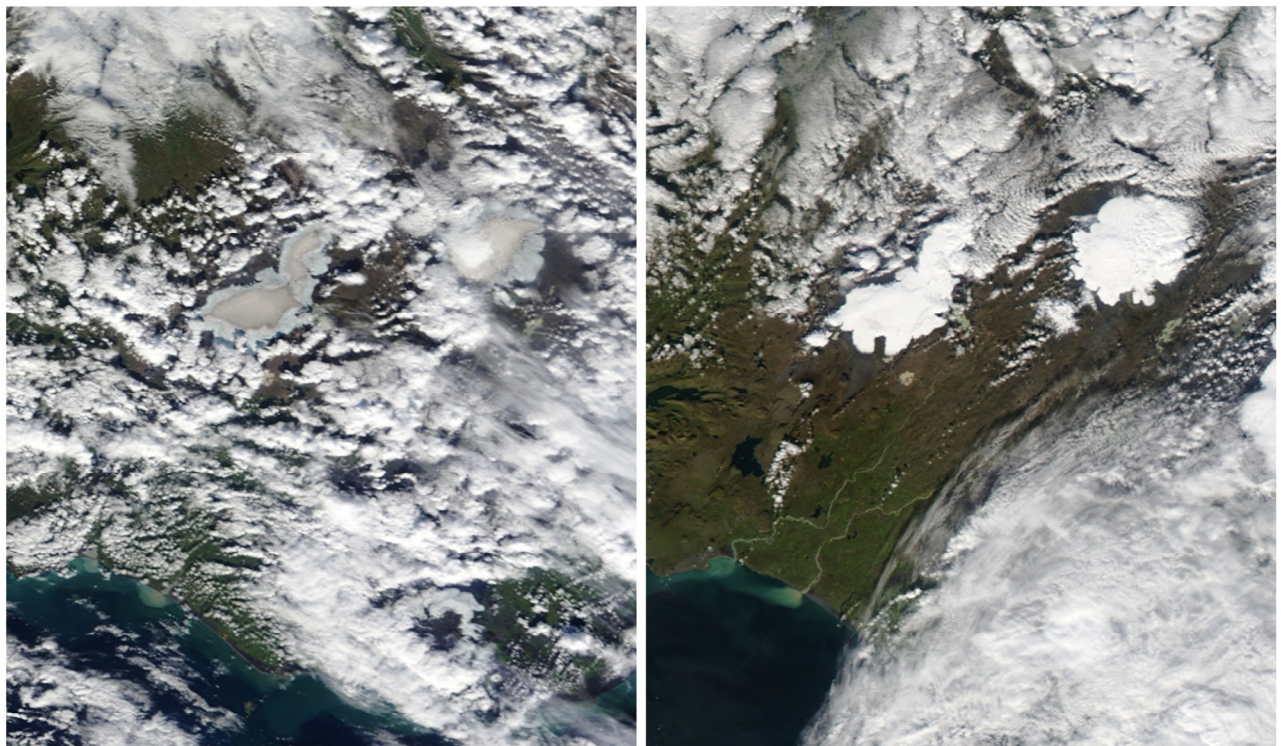
23. júní og 16. júlí 2010; Snæfellsjökull fíkrast uppá við.



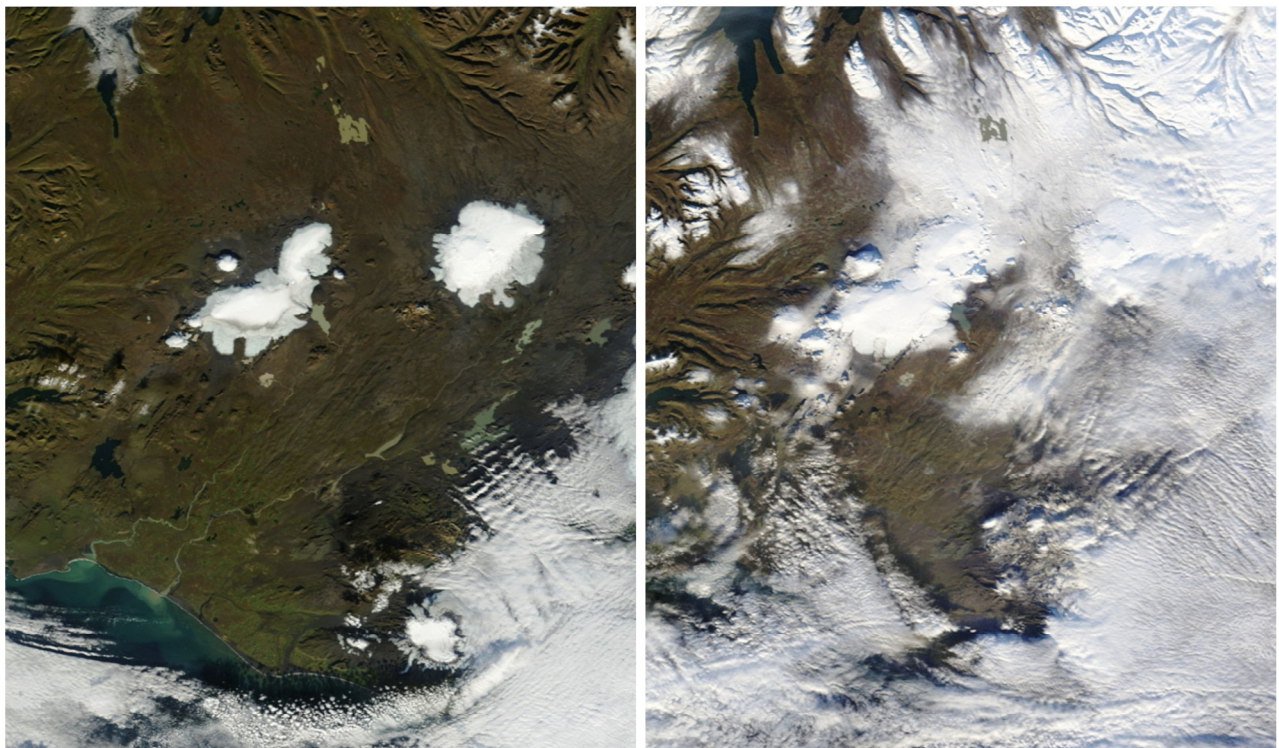
21. júlí og 9. ágúst 2010; Snæfellsjökull fíkrast uppá við, örlítið hefur snjóað á topp Hofsjökuls en ekkert á Langjökul.



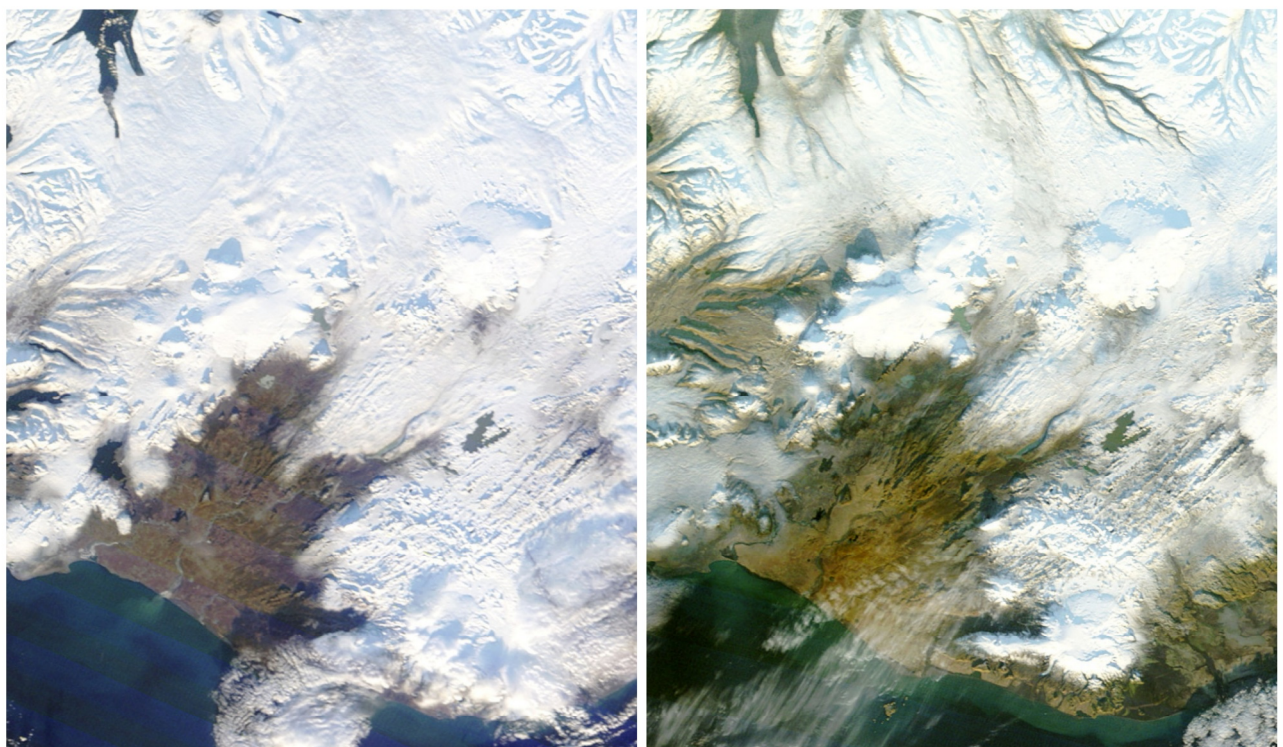
19. og 24. ágúst; Enn leysir snjó og hjarn, þann 24. hefur snjóað í norðanátt, þetta mun draga úr leysingu á NV-Baldjökli og hæstu svæðum suðurjökulsins.



11. og 22. september; Eftir miðjan September var veður risjótt, Langjökull er að mestu hulinn nýsnjó þann 22.



Vinstri: 10. október; Eftir risjótt veður kom afteu bjartur kafli, snjó á leysingasvæði tók upp.  
Hægri: 31. október; nú var veturn genginn í garð, snjór farinn að safnast á allan jökulinn.



14. og 22. nóvember 2010; Þó snjór safnist á jöklana er nær enginn snjór á suðurhlélandinu þó kominn sé miður vetur.

Þessar myndir eru ýmist úr MODIS Aqua eða MODIS Terra gervitunglunum, á sýnilega ljóssviðinu með 250 m upplausn. (Sjá t.d. <http://rapidfire.sci.gsfc.nasa.gov/>)

*The Moderate Resolution Imaging Spectroradiometer (MODIS) flies onboard NASA's Aqua and Terra satellites as part of the NASA-centered international Earth Observing System. Both satellites orbit the Earth from pole to pole, seeing most of the globe every day. Onboard Terra, MODIS sees the Earth during the morning, while Aqua MODIS orbits the Earth in the afternoon.*